



Physical Interactions

between Continental Discharges and Coastal Ocean: An Attempt of Brief Review

by Peter O. Zavialov, Shirshov Institute of Oceanology

Baltiysk, Russia, July 2, 2008

A part of the material used in this talk was prepared by:



Boris Konovalov



Alexander Grabovsky



Victor Zhurbas



Vadim Pelevin



Peter Makkaveyev

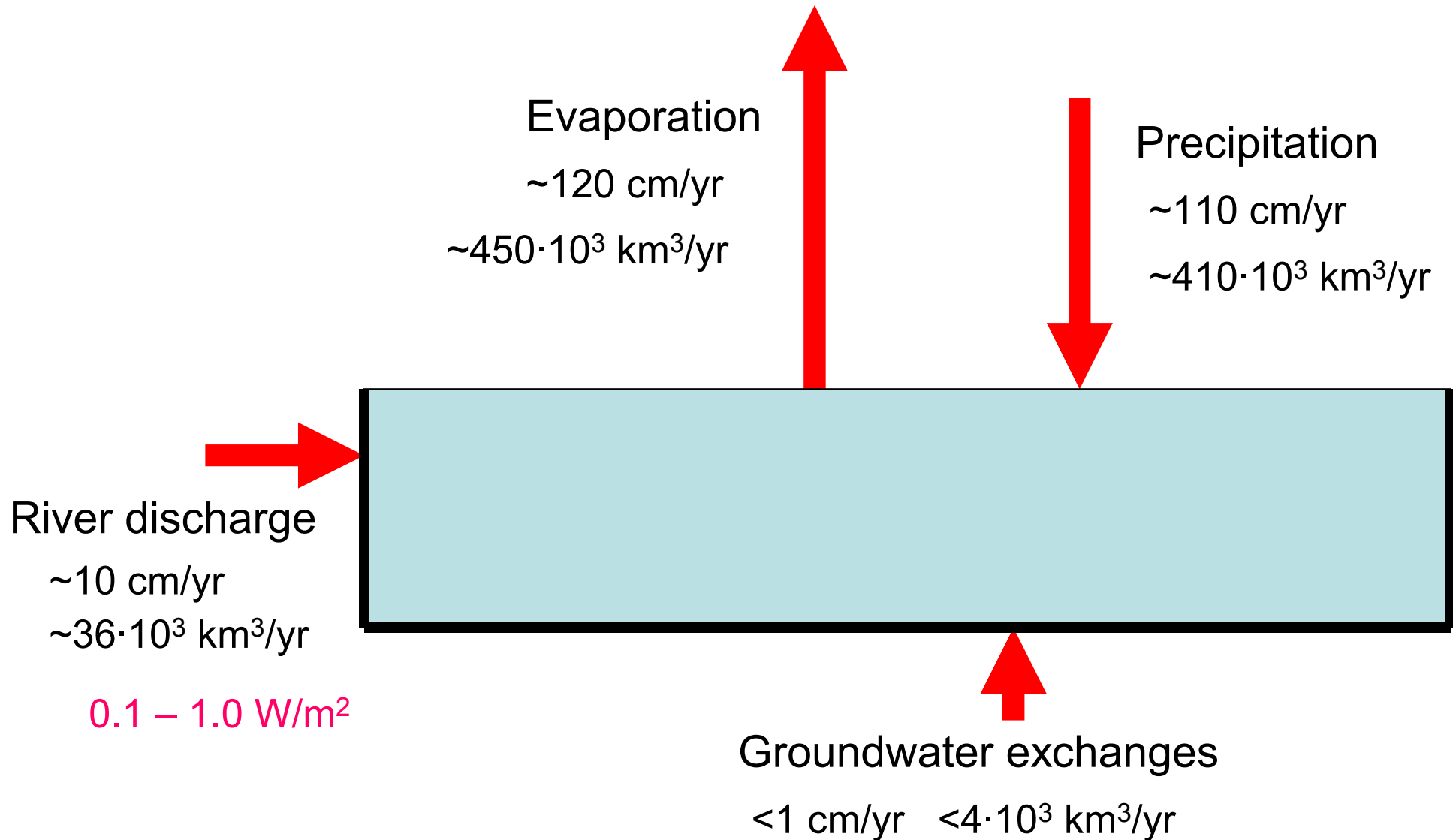


Vladimir Sklyarov

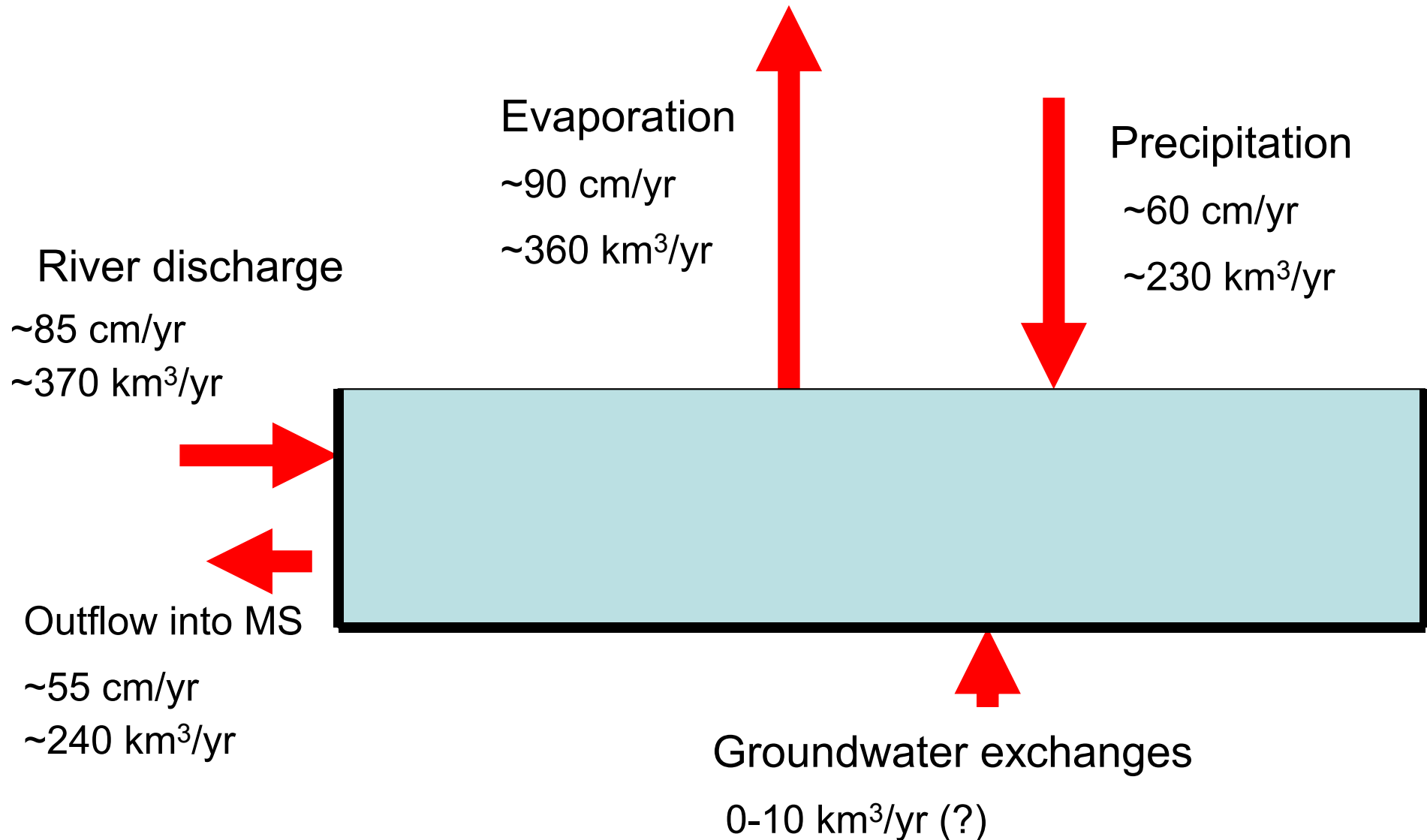
Outline

1. Water budget of the ocean and the seas. Coast as a permeable lateral boundary of the ocean
2. How do river discharges modulate 3D structure and variability of the ocean?
3. A “zoo” of river plumes, and their amazing properties
4. Physics behind: free plumes, plumes with bottom friction, wind-dragged plumes
5. Some specific issues: river discharges as potential source of
 - 5.1) internal waves in non-tidal basins, and
 - 5.2) vorticity on shelves(illustrated by data recently collected in the Black Sea)
6. Conclusions

Water budget of the ocean

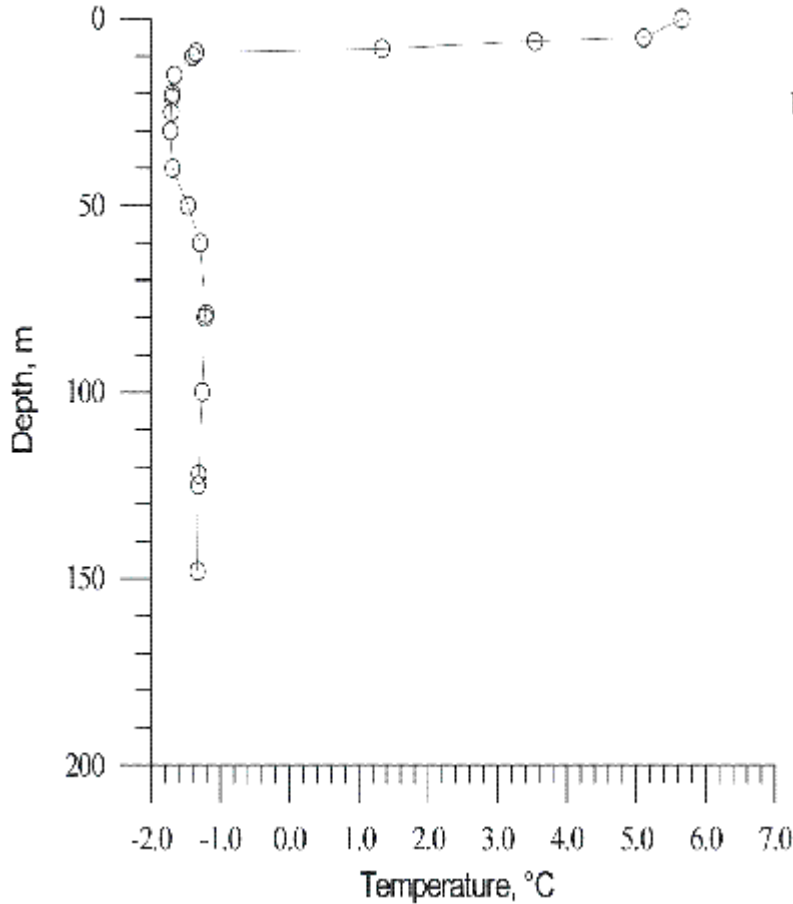


Water budget of the Black Sea

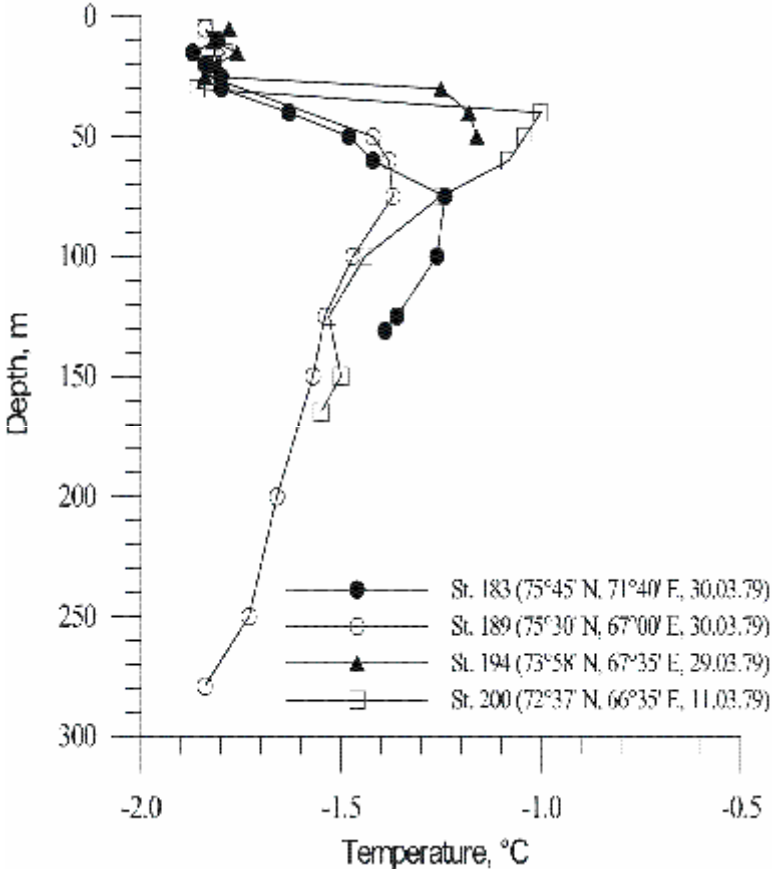


Kara Sea

[Pivovarov et al., JGR, 2003]



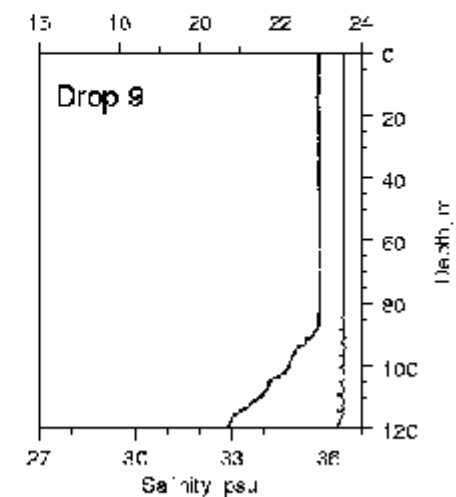
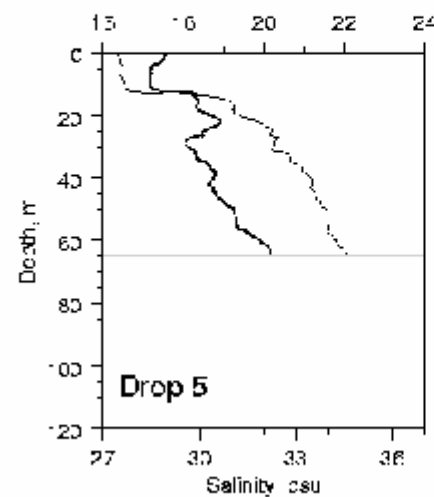
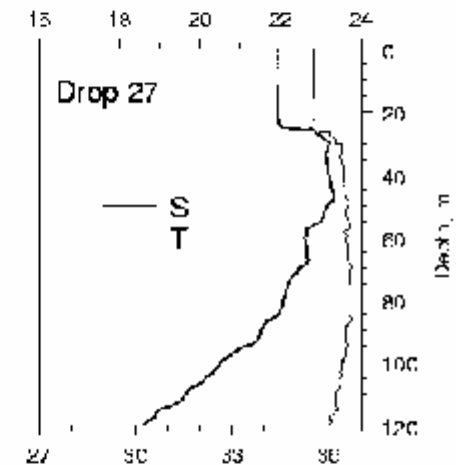
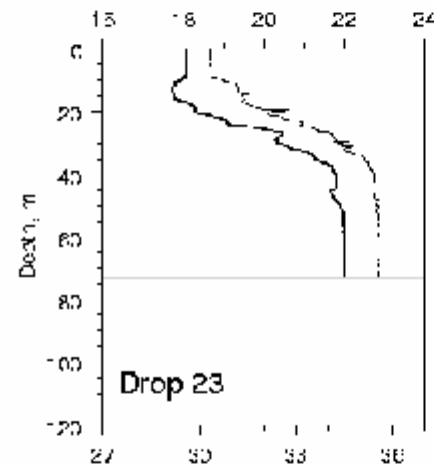
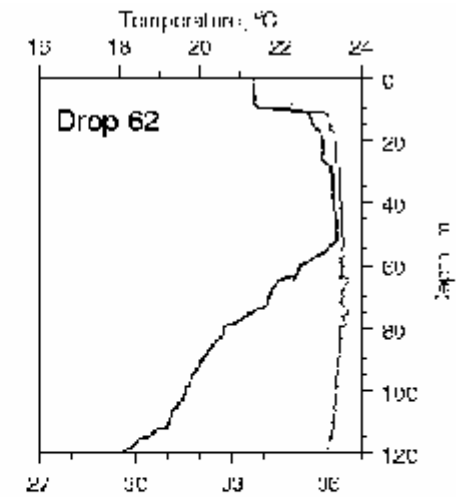
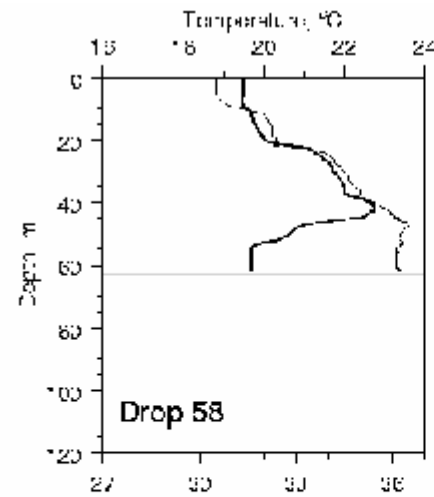
Summer



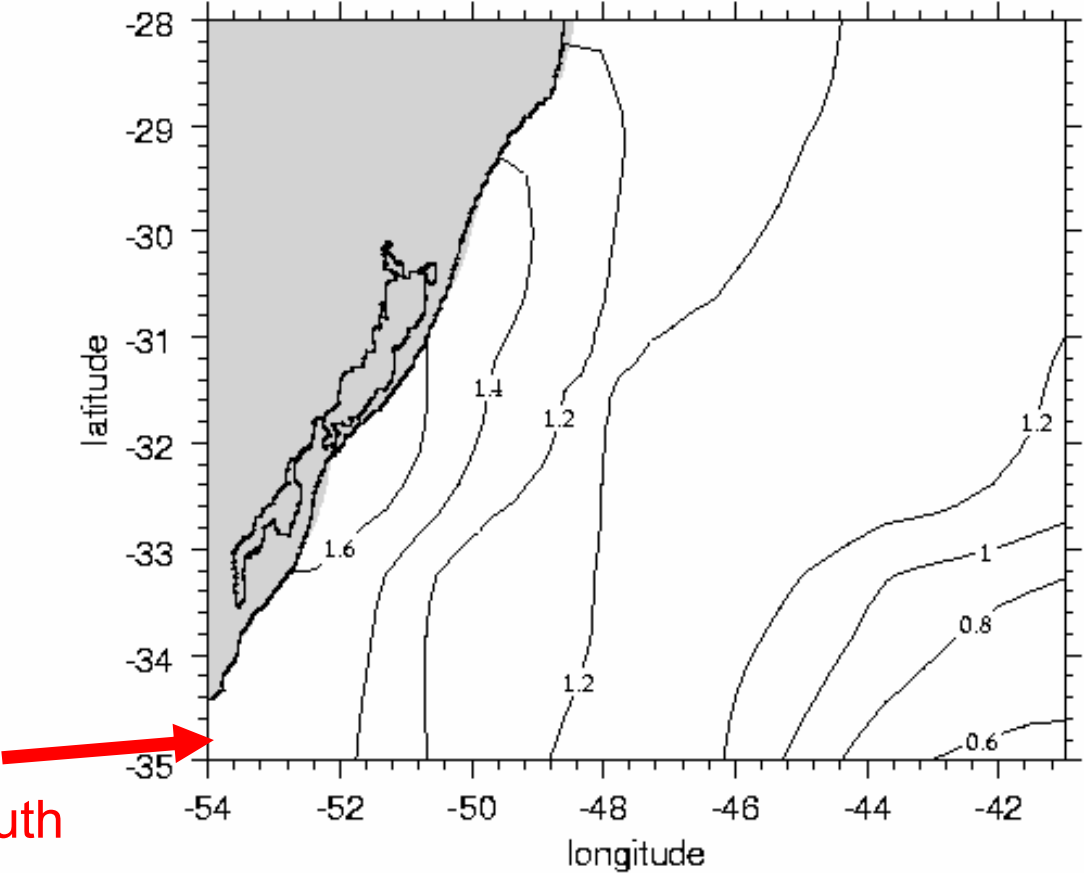
Winter

Southwest Atlantic

[Zavialov et al., GRL, 2004]



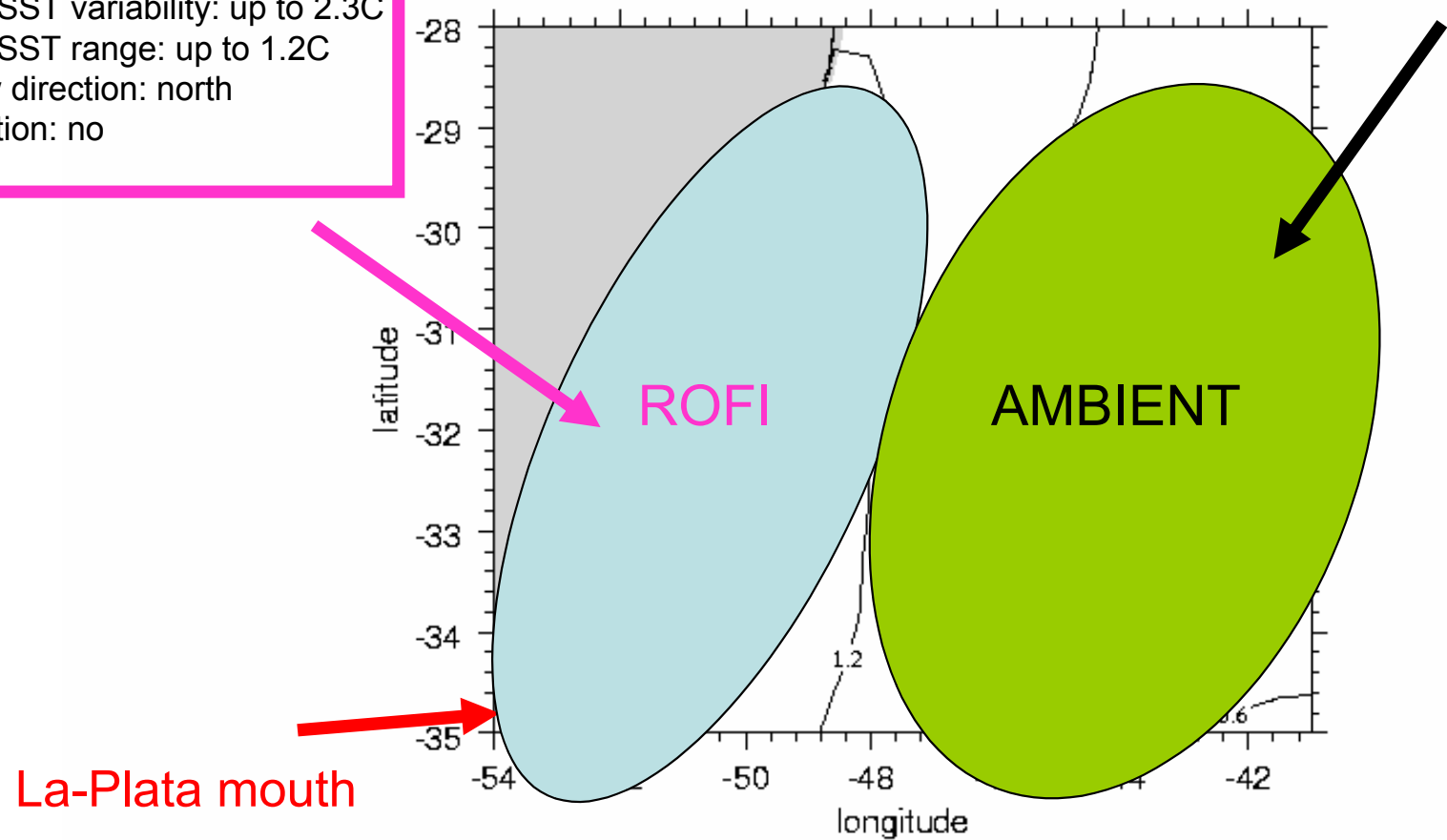
Southwest Atlantic ocean



La-Plata mouth

Seasonal SST range: up to 10C
Higher harmonics: up to 40%
Secular trend: up to 1.6C/100 yr
Overall SST variability: up to 2.3C
Diurnal SST range: up to 1.2C
Net flow direction: north
Convection: no

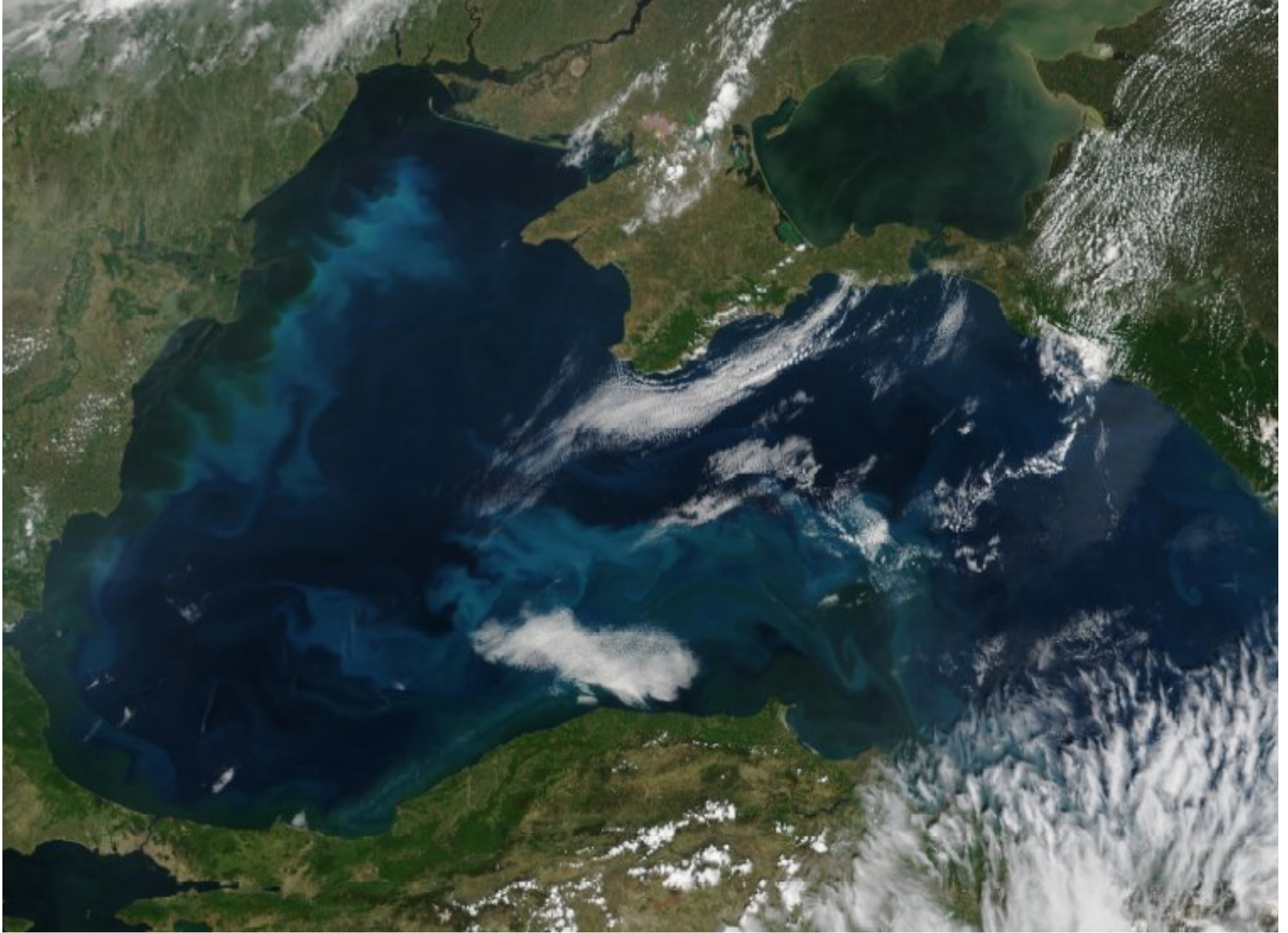
Seasonal SST range: 4-6C
Higher harmonics: less than 10%
Secular trend: up to 0.5C/100 yr
Overall SST variability: about 1C
Diurnal SST range: ~0.2C
Net flow direction: south
Convection: yes

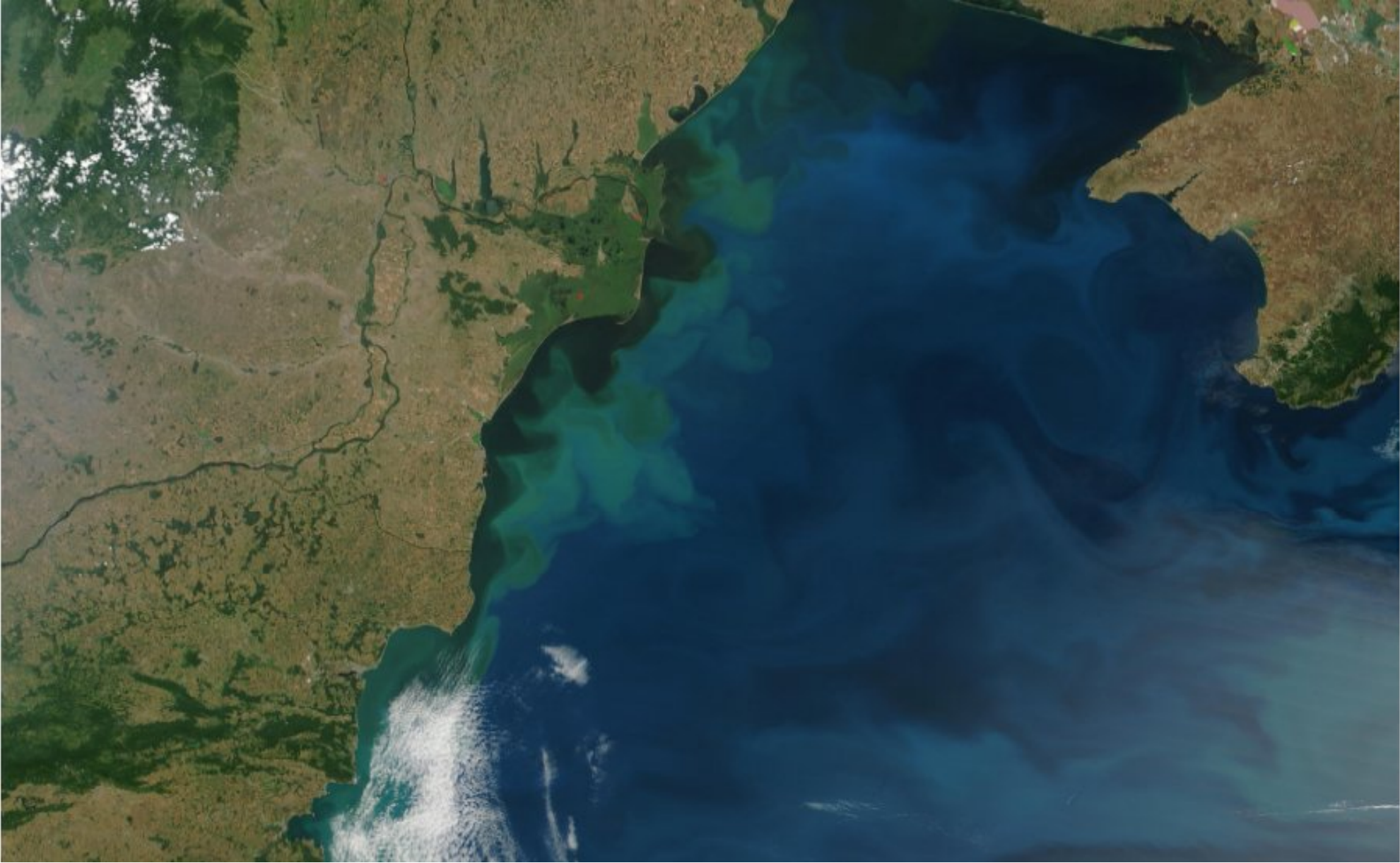


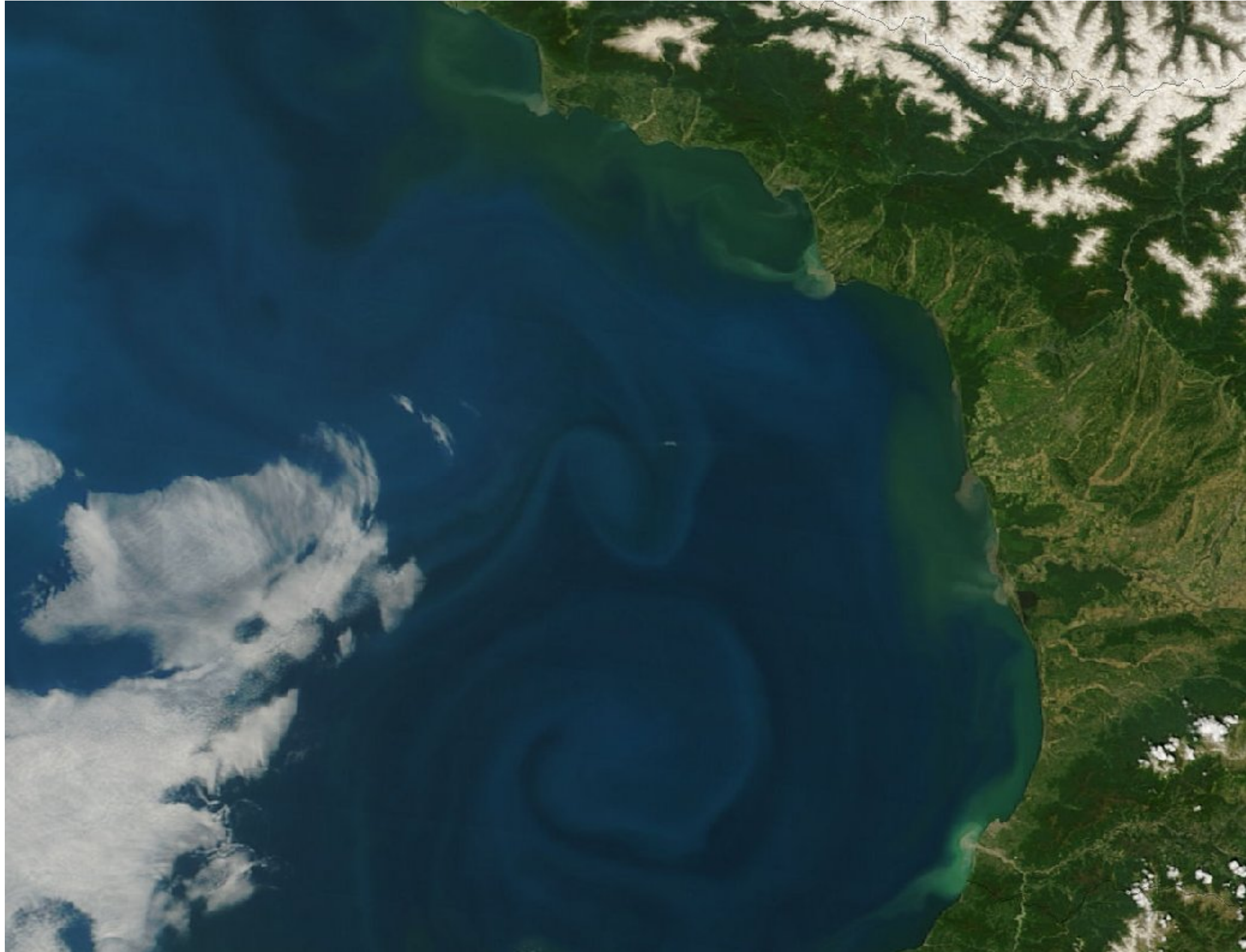
[Zavialov et al., 1996-2000]









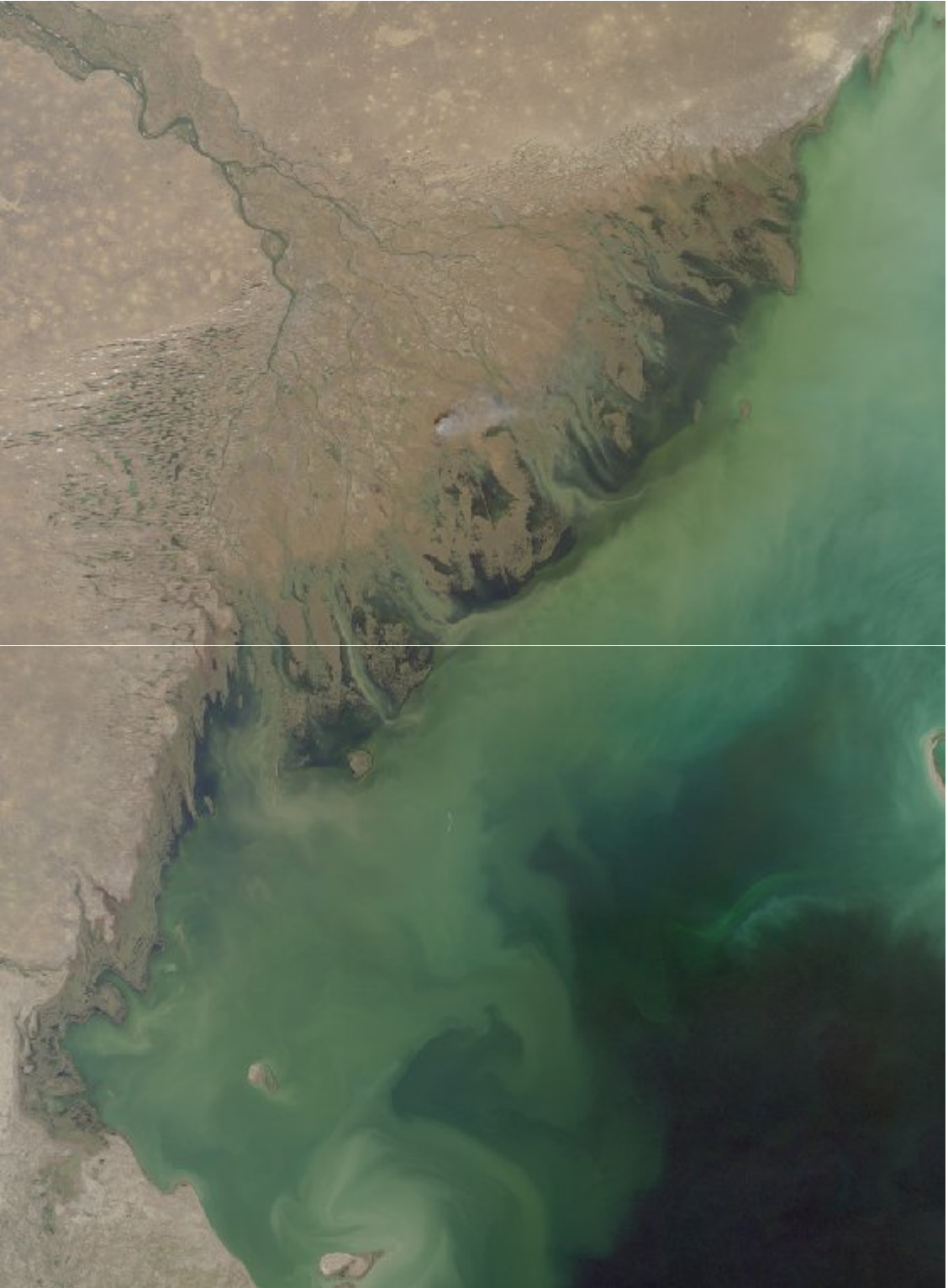


ТУАПСЕ

СОЧИ

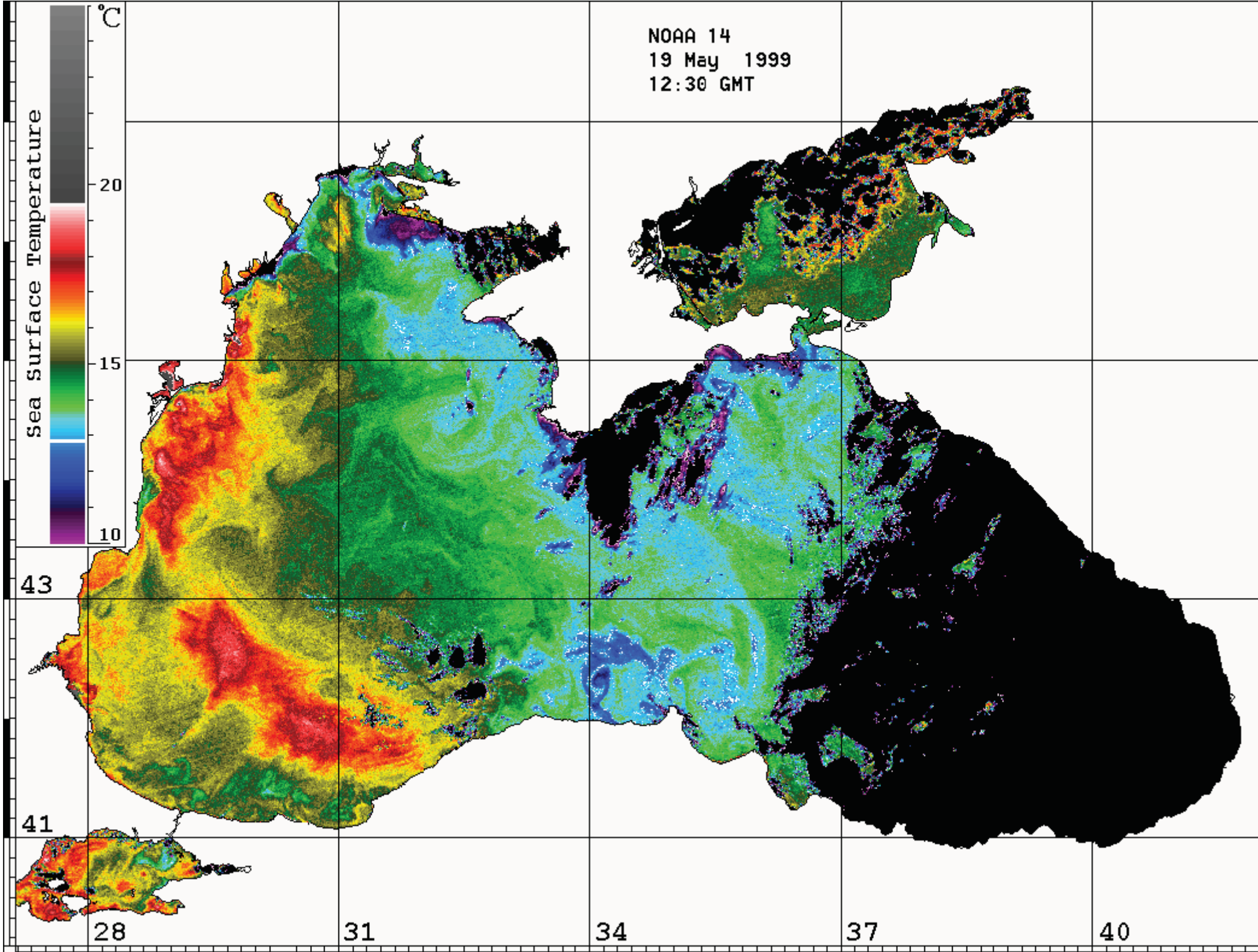
АДЛЕ



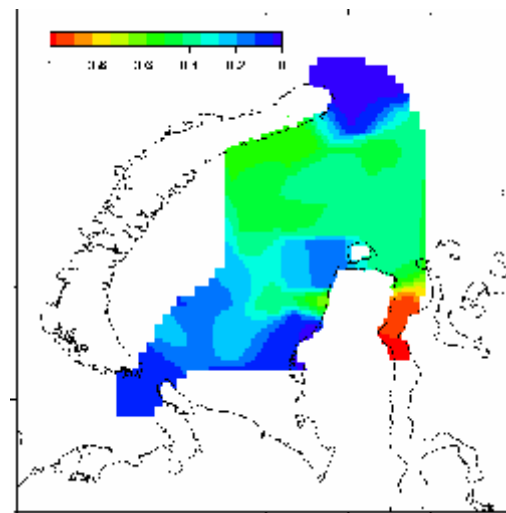








Typical shapes of river plumes



Typical shapes of river plumes



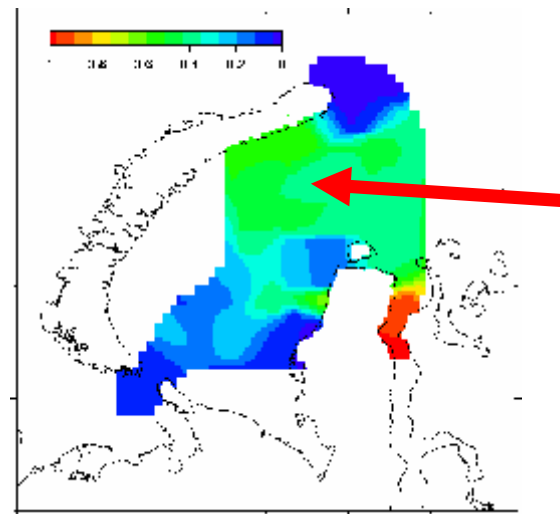
«пузырь»
bulge



«ЯЗЫК»
tongue



«струя»
jet



«ЛИНЗА»
lens

Momentum equations

$$\frac{\partial u}{\partial t} + u \frac{\partial u}{\partial x} + v \frac{\partial u}{\partial y} = -\frac{1}{\rho} \frac{\partial p}{\partial x} + fv + \frac{\partial}{\partial z} A_z \frac{\partial u}{\partial z}$$

$$\frac{\partial v}{\partial t} + u \frac{\partial v}{\partial x} + v \frac{\partial v}{\partial y} = -\frac{1}{\rho} \frac{\partial p}{\partial y} - fu + \frac{\partial}{\partial z} A_z \frac{\partial v}{\partial z}$$

$$\frac{\partial p}{\partial z} = \rho g$$

$$\frac{\partial u}{\partial t} + u \frac{\partial u}{\partial x} + v \frac{\partial u}{\partial y} = -\frac{1}{\rho} \frac{\partial p}{\partial x} + fv + \frac{\partial}{\partial z} A_z \frac{\partial u}{\partial z}$$

$$\frac{\partial v}{\partial t} + u \frac{\partial v}{\partial x} + v \frac{\partial v}{\partial y} = -\frac{1}{\rho} \frac{\partial p}{\partial y} - fu + \frac{\partial}{\partial z} A_z \frac{\partial v}{\partial z}$$

$$\frac{\partial p}{\partial z} = \rho g$$

$$\frac{\partial u}{\partial t} + \cancel{u \frac{\partial u}{\partial x}} + \cancel{v \frac{\partial u}{\partial y}} = -\frac{1}{\rho} \frac{\partial p}{\partial x} + fv + \frac{\partial}{\partial z} A_z \frac{\partial u}{\partial z}$$

$$\frac{\partial v}{\partial t} + \cancel{u \frac{\partial v}{\partial x}} + \cancel{v \frac{\partial v}{\partial y}} = -\frac{1}{\rho} \frac{\partial p}{\partial y} - fu + \frac{\partial}{\partial z} A_z \frac{\partial v}{\partial z}$$

$$\frac{\partial p}{\partial z} = \rho g$$

$$\cancel{\frac{\partial u}{\partial t}} + u \cancel{\frac{\partial u}{\partial x}} + v \cancel{\frac{\partial u}{\partial y}} = -\frac{1}{\rho} \frac{\partial p}{\partial x} + fv + \frac{\partial}{\partial z} A_z \frac{\partial u}{\partial z}$$

$$\cancel{\frac{\partial v}{\partial t}} + u \cancel{\frac{\partial v}{\partial x}} + v \cancel{\frac{\partial v}{\partial y}} = -\frac{1}{\rho} \frac{\partial p}{\partial y} - fu + \frac{\partial}{\partial z} A_z \frac{\partial v}{\partial z}$$

$$\frac{\partial p}{\partial z} = \rho g$$

$$\cancel{\frac{\partial u}{\partial t}} + u \cancel{\frac{\partial u}{\partial x}} + v \cancel{\frac{\partial u}{\partial y}} = -\frac{1}{\rho} \frac{\partial p}{\partial x} + fv + \cancel{\frac{\partial}{\partial z} A_z \frac{\partial u}{\partial z}}$$

$$\cancel{\frac{\partial v}{\partial t}} + u \cancel{\frac{\partial v}{\partial x}} + v \cancel{\frac{\partial v}{\partial y}} = -\frac{1}{\rho} \frac{\partial p}{\partial y} - fu + \cancel{\frac{\partial}{\partial z} A_z \frac{\partial v}{\partial z}}$$

$$\frac{\partial p}{\partial z} = \rho g$$

Momentum equations

$$fu = \frac{1}{\rho} \frac{\partial p}{\partial y} \quad \text{Geostrophic balance}$$

$$\frac{\partial p}{\partial z} = \rho g \quad \text{Hydrostatic balance}$$

Momentum equations

$$fu = \frac{1}{\rho} \frac{\partial p}{\partial y}$$

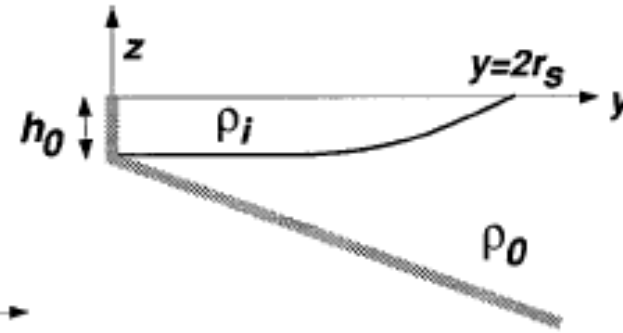
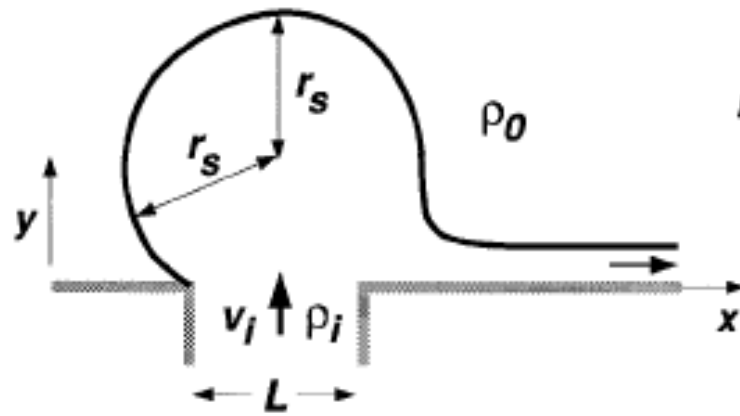
$$\frac{\partial p}{\partial z} = \rho g$$



$$\frac{\partial u}{\partial z} = \frac{g}{\rho f} \frac{\partial \rho}{\partial y}$$

«Thermal wind equation»

“Surface-advected plume”



Scaling relations

$$\frac{\partial u}{\partial z} = \frac{g}{\rho f} \frac{\partial \rho}{\partial y} \sim \frac{g \frac{\Delta \rho}{\rho}}{f L_d}$$

$$\frac{U_d}{H} \sim \frac{g'}{f L_d}$$

$$H \sim \frac{U_d f L_d}{g'}$$

Scaling relations

$$\frac{\partial u}{\partial z} = \frac{g}{\rho f} \frac{\partial \rho}{\partial y} \sim \frac{g \frac{\Delta \rho}{\rho}}{f L_d}$$

$$\frac{U_d}{H} \sim \frac{g'}{f L_d}$$

For “small” rivers,

$$H \sim 1 \text{ m}$$

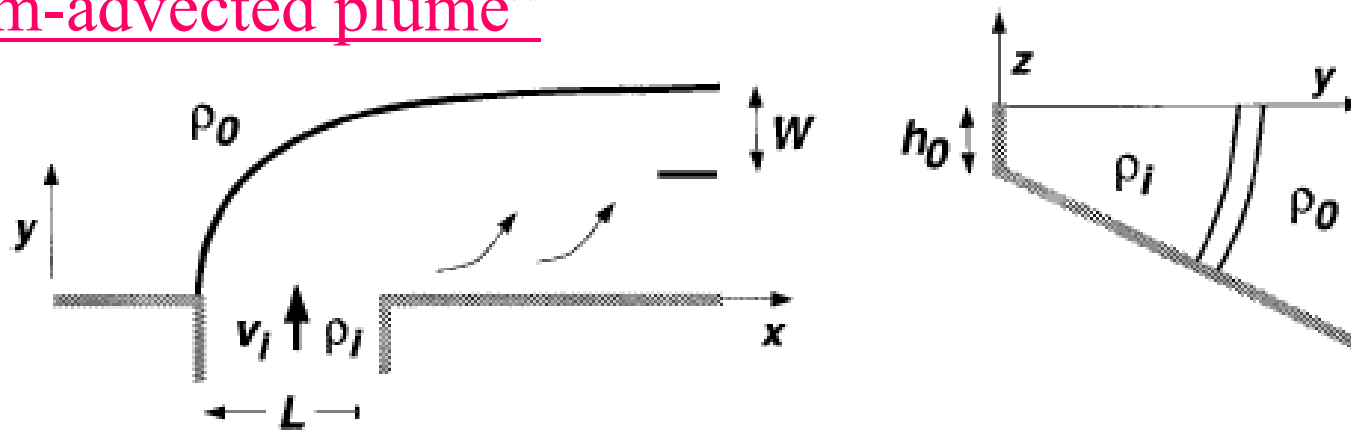
$$H \sim \frac{U_d f L_d}{g'}$$

For “big” rivers,

$$H \sim 10 \text{ m}$$

What if bottom friction is there?

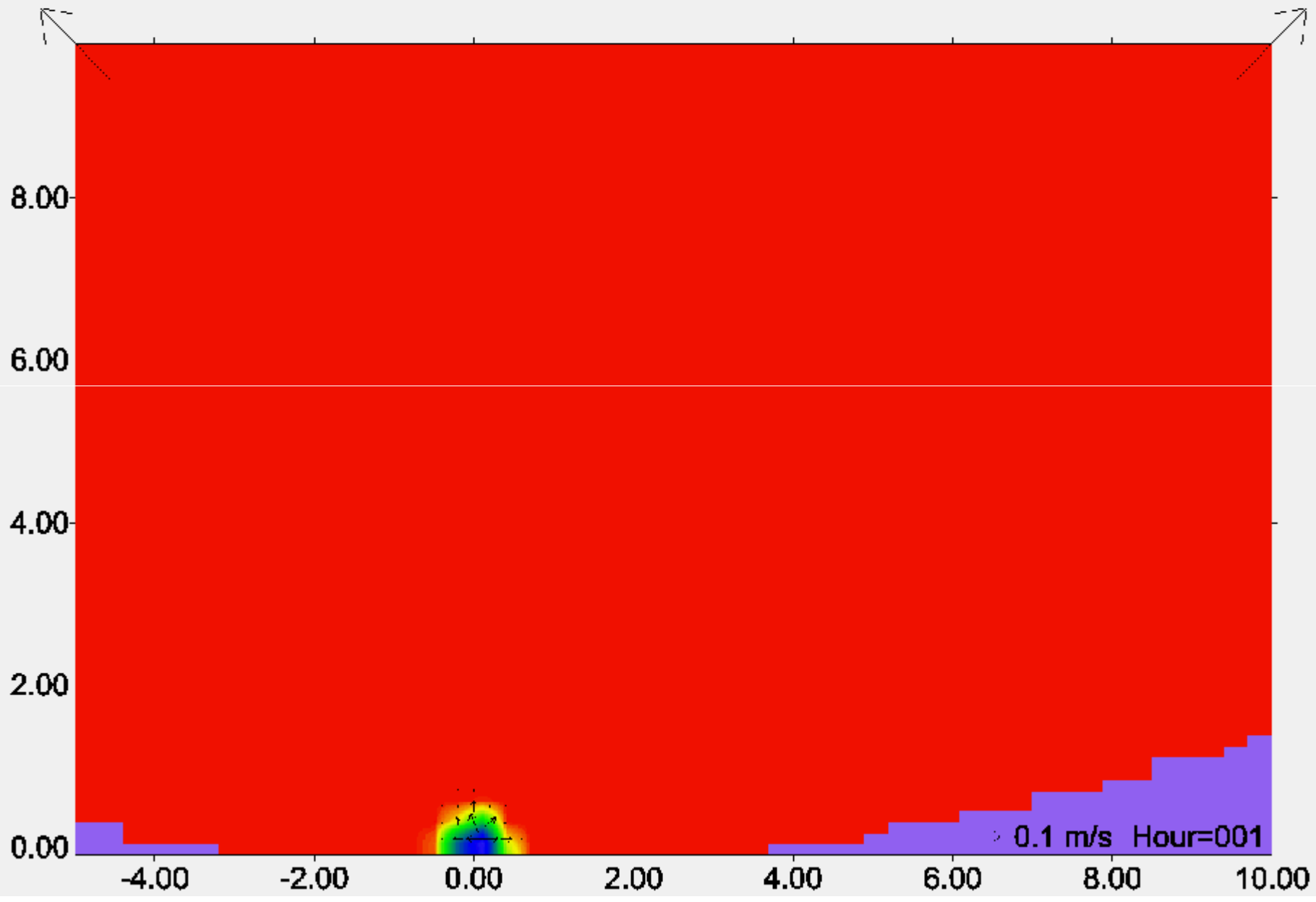
“Bottom-advected plume”

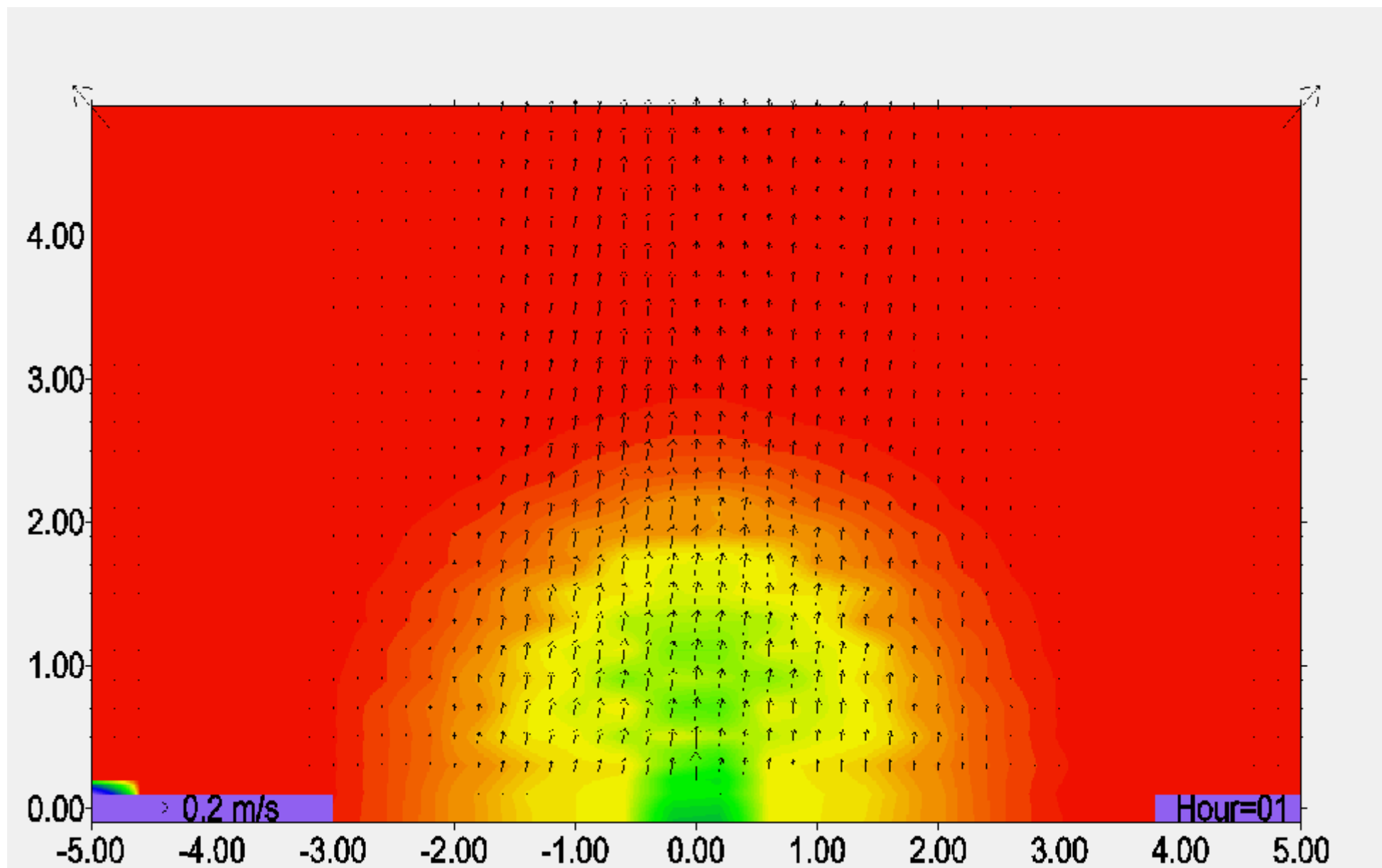


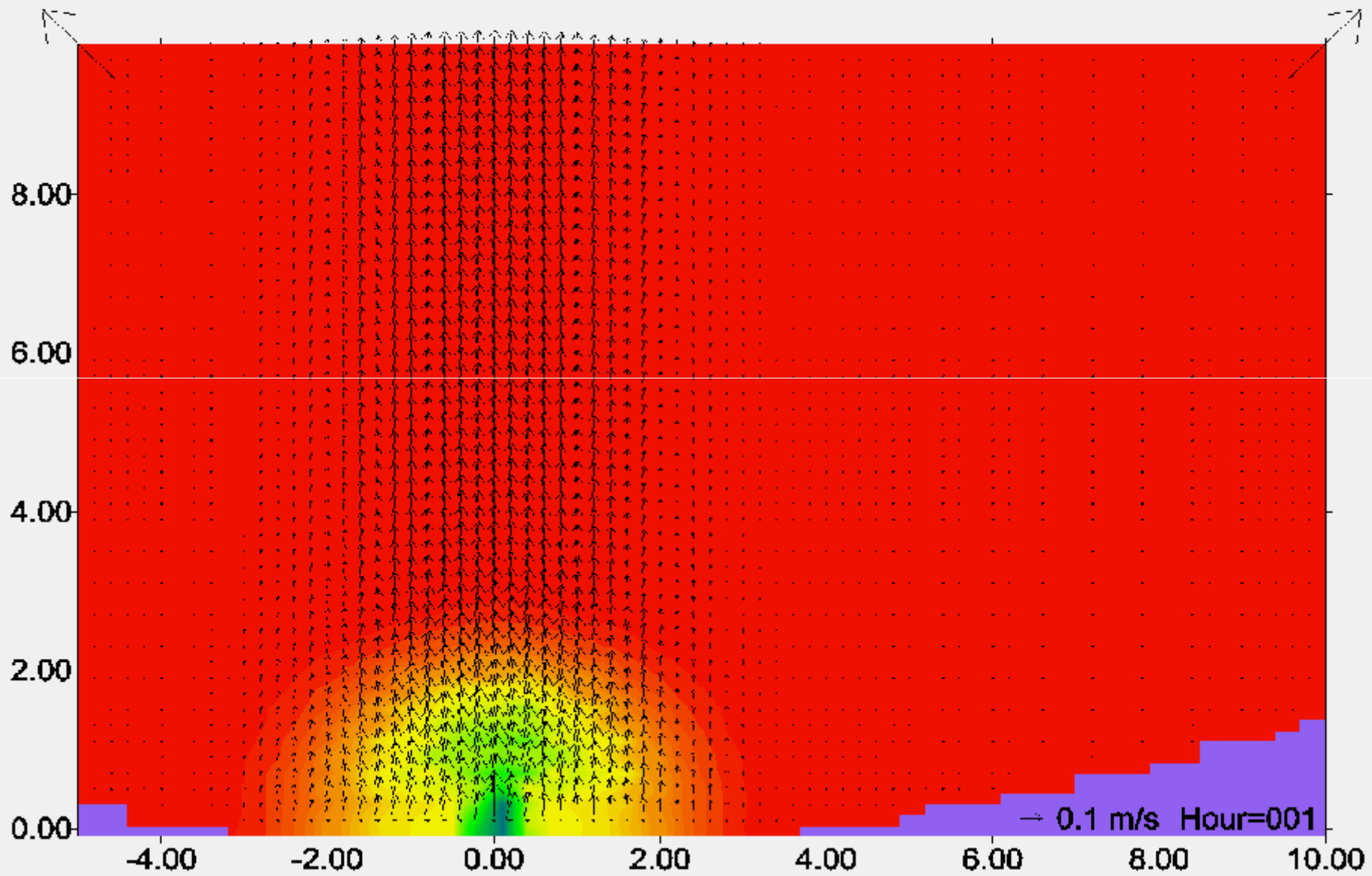
[Yankovsky and Chapman, JPO, 1997]

What if wind is there?

(POM simulations by [Zhurbas and Zavialov])







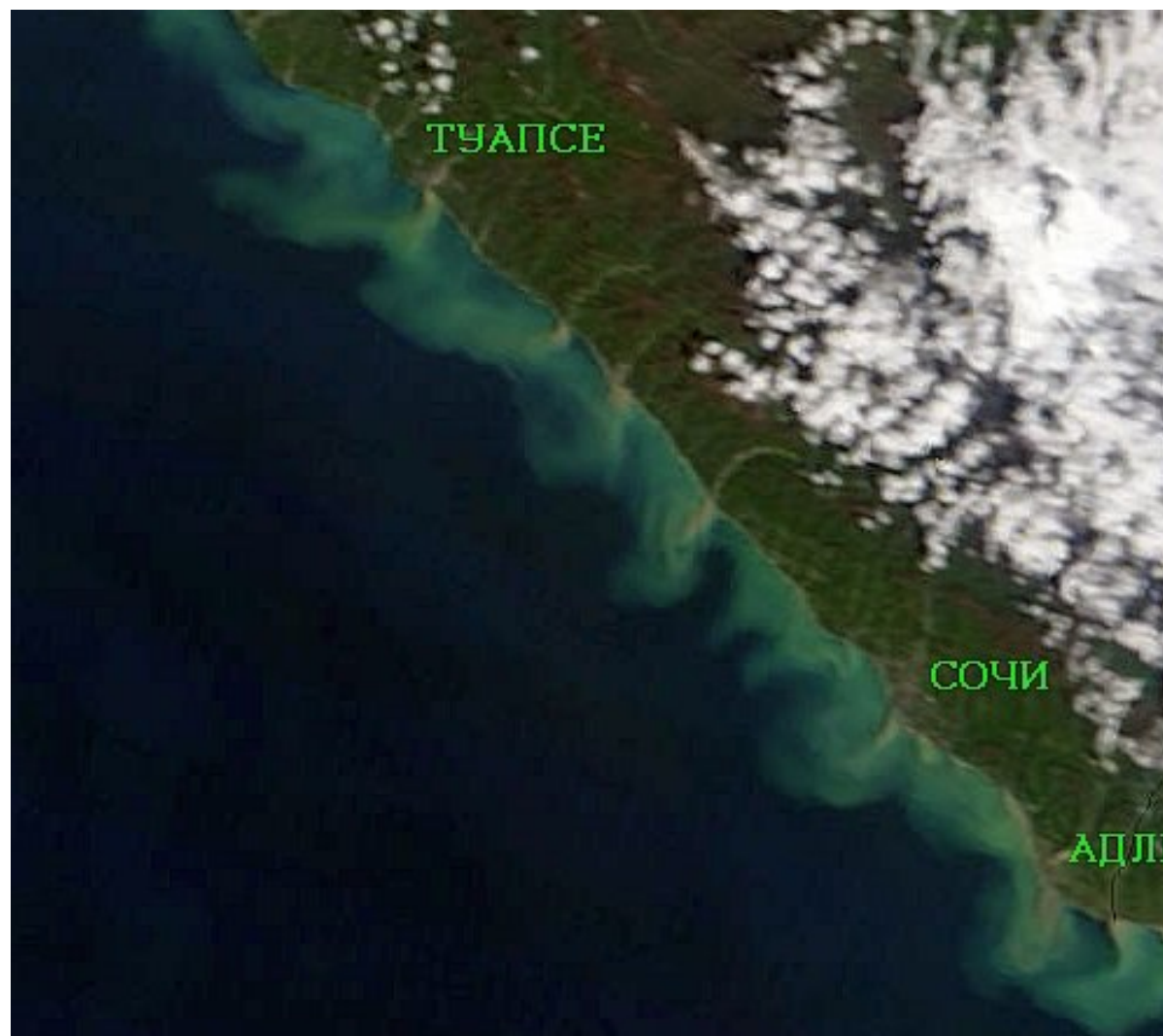
© www.blacksea-travel.ru
При использовании этой карты -
обязательна ссылка на источник

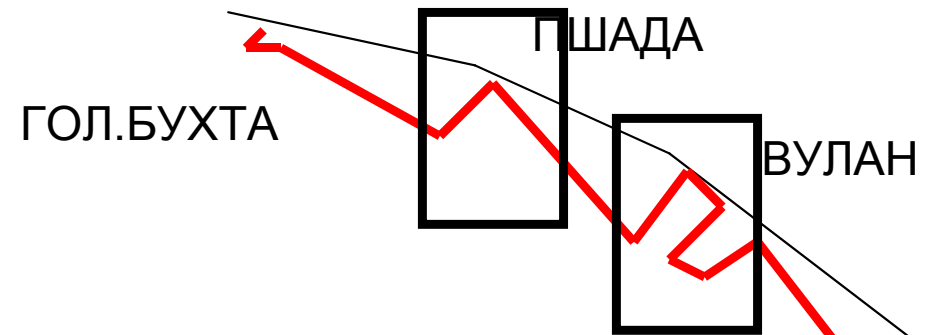


River	Q, m ³ /s
Mezyb	3.9
Pshada	9.8
Vulan	6.4
Tuapse	12.8
Sochi	16.1
Mzymta	49.5



May 3, 2007

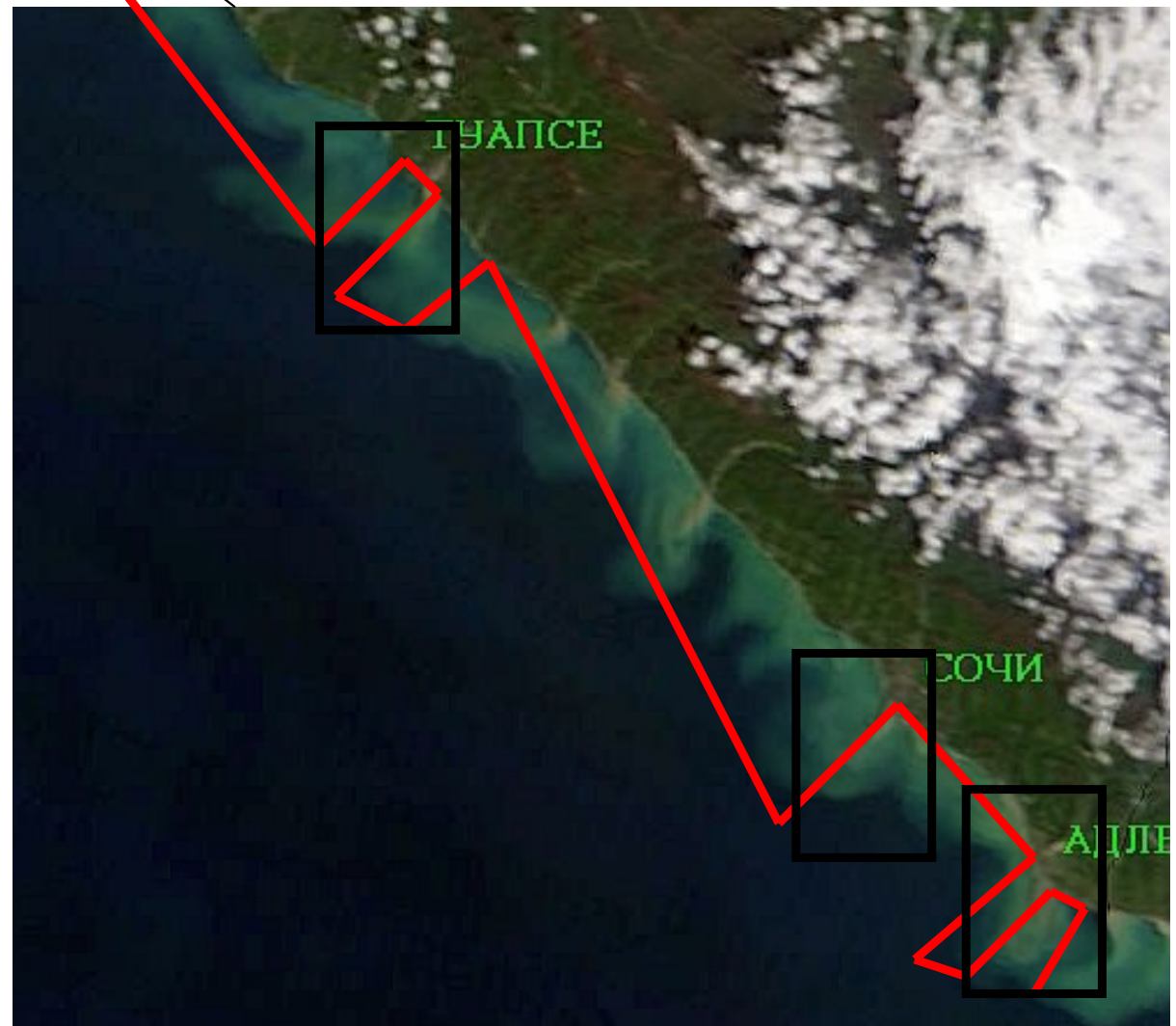




May 3, 2007

May 1-5, 2007

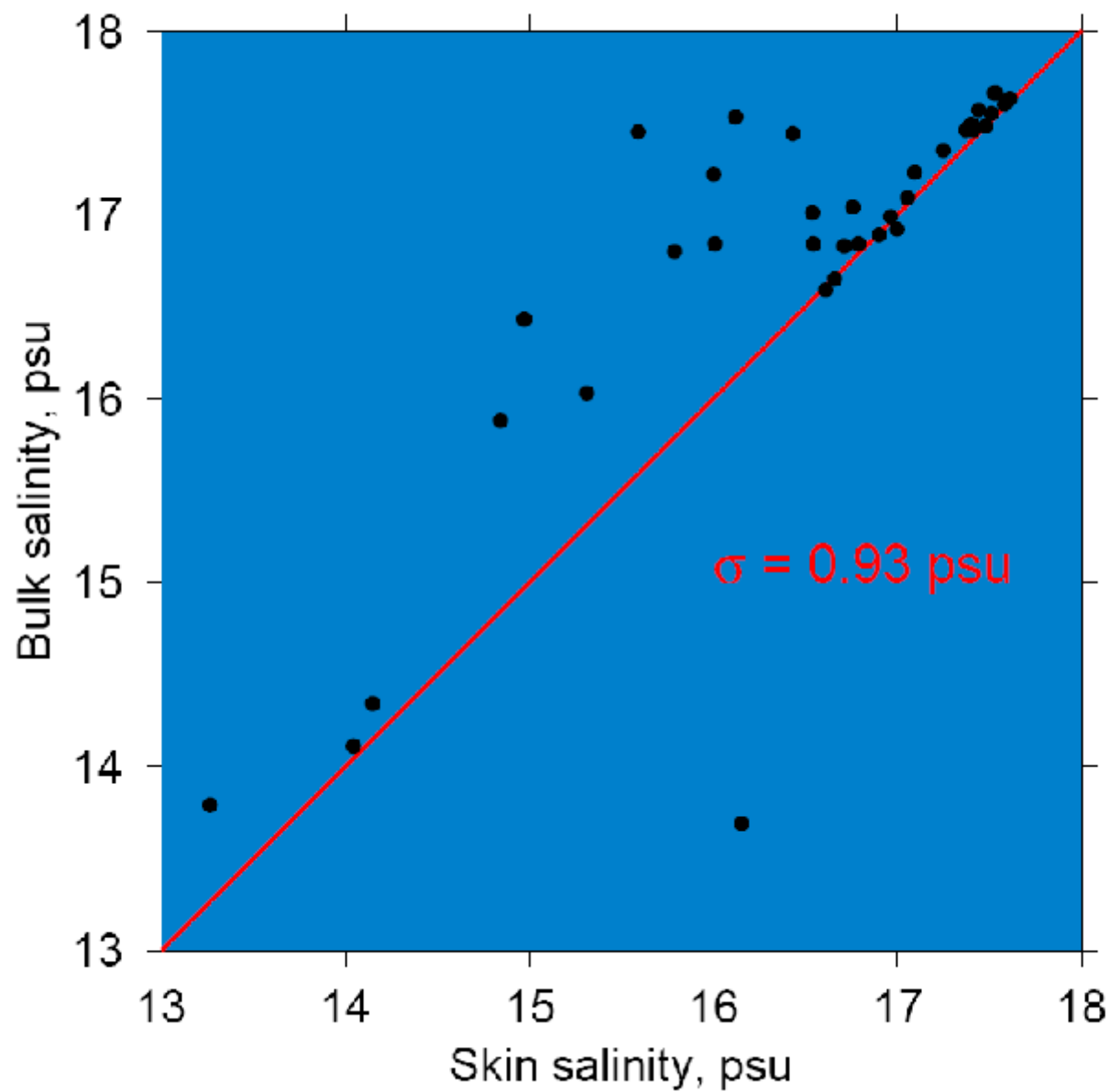
R/V «Akvanaut» cruise 119



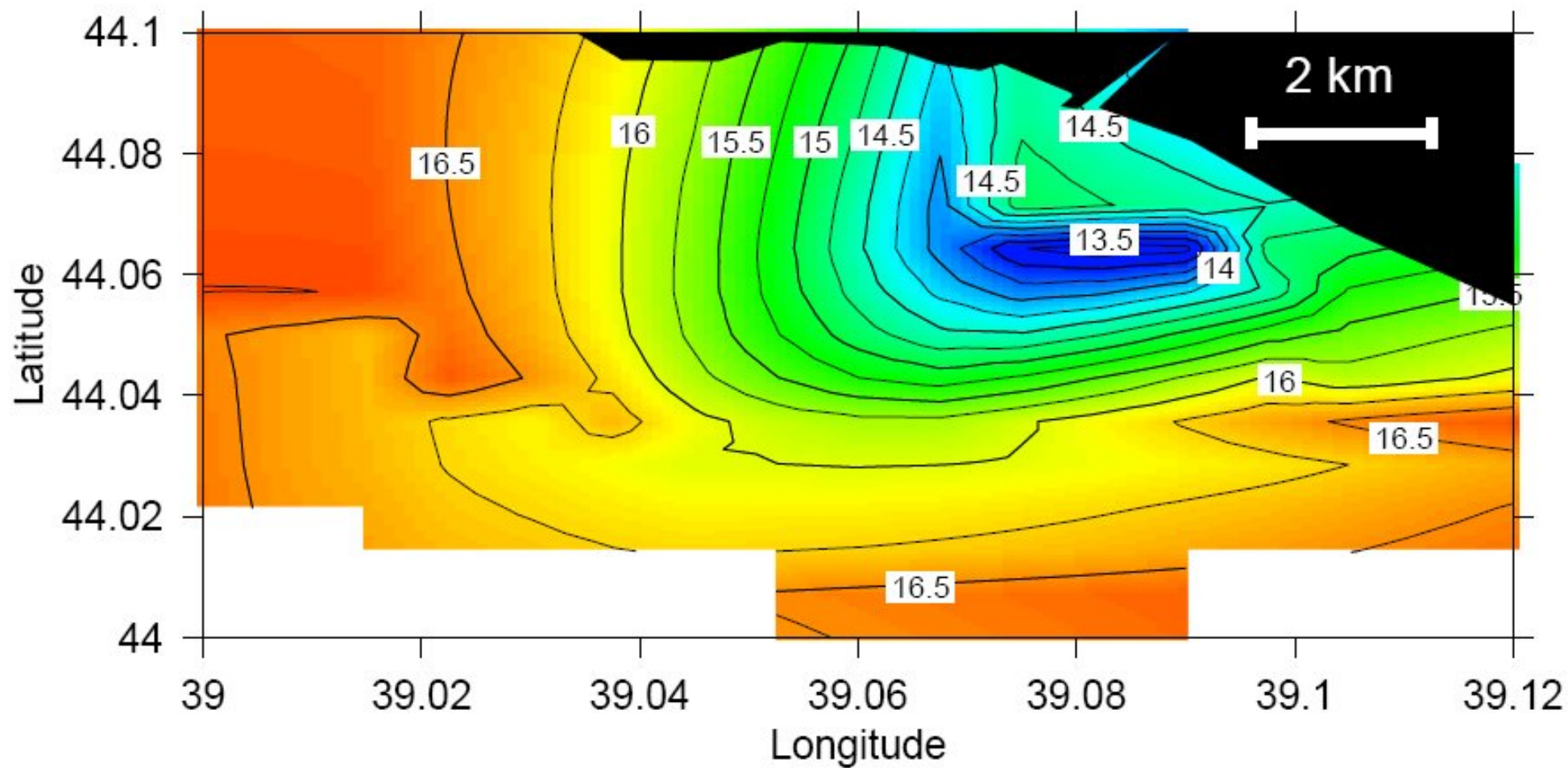
FRESH WATER



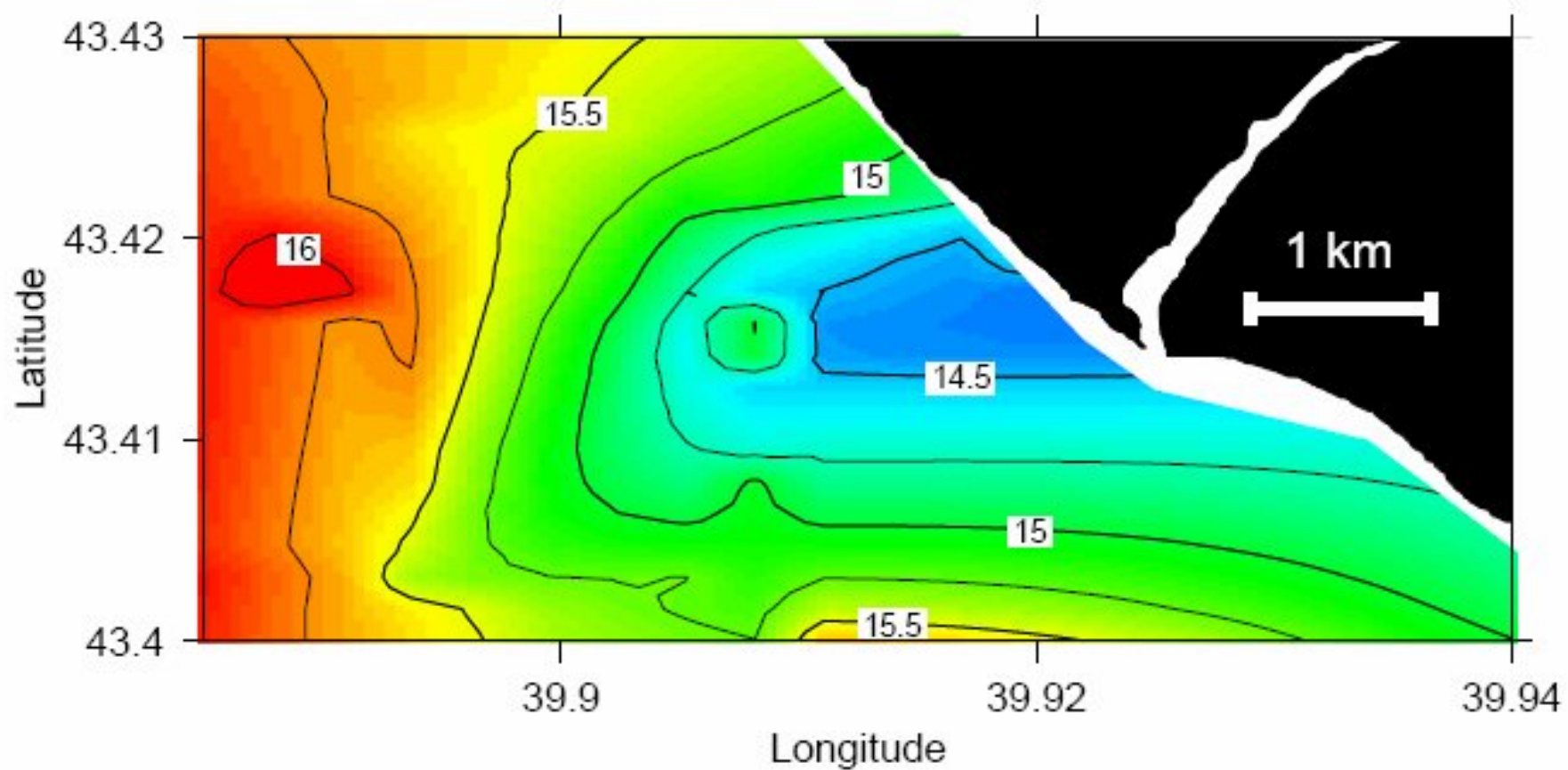
Skin vs bulk salinity at surface



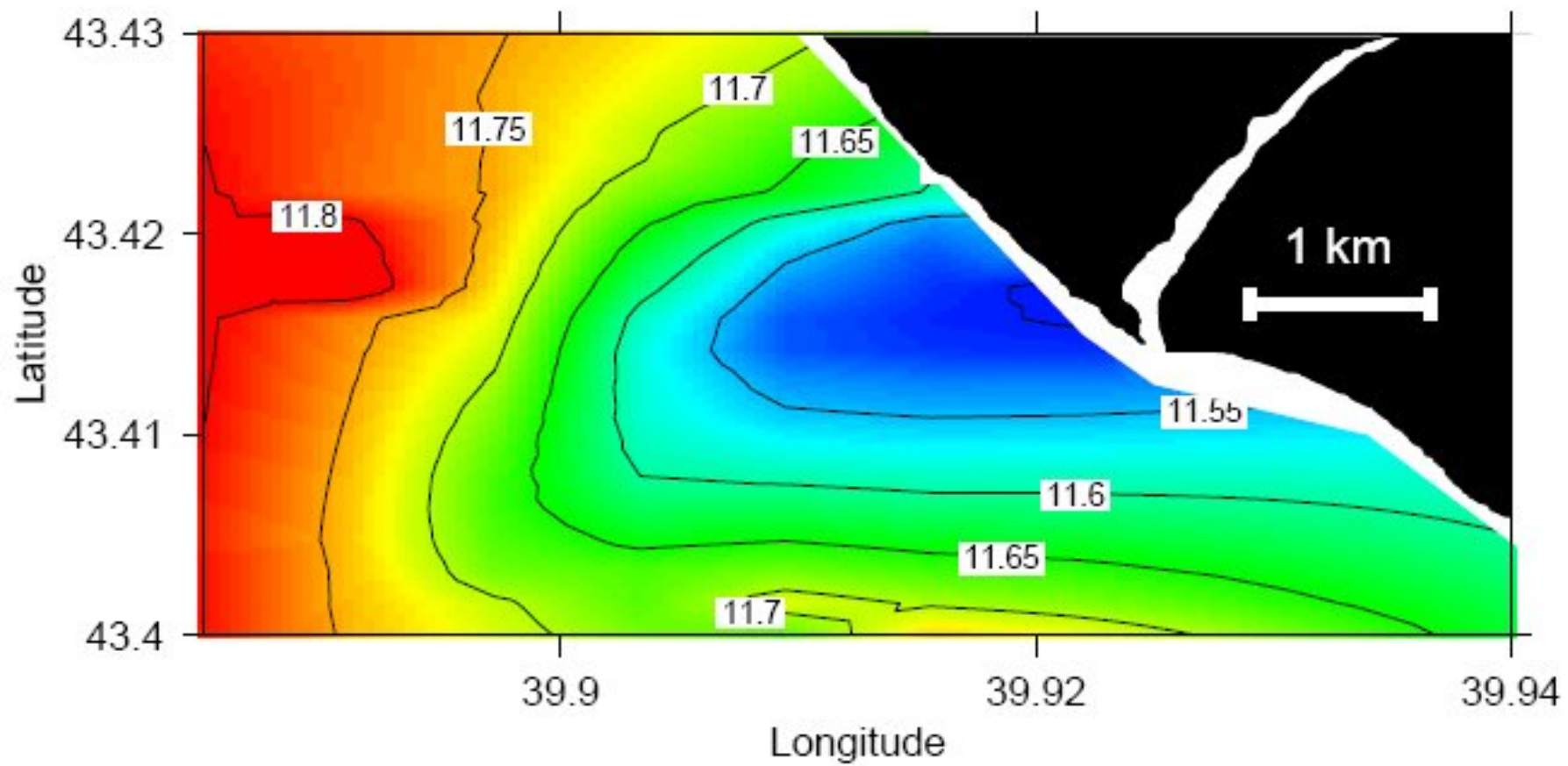
Tuapse mouth. Salinity at surface, psu.



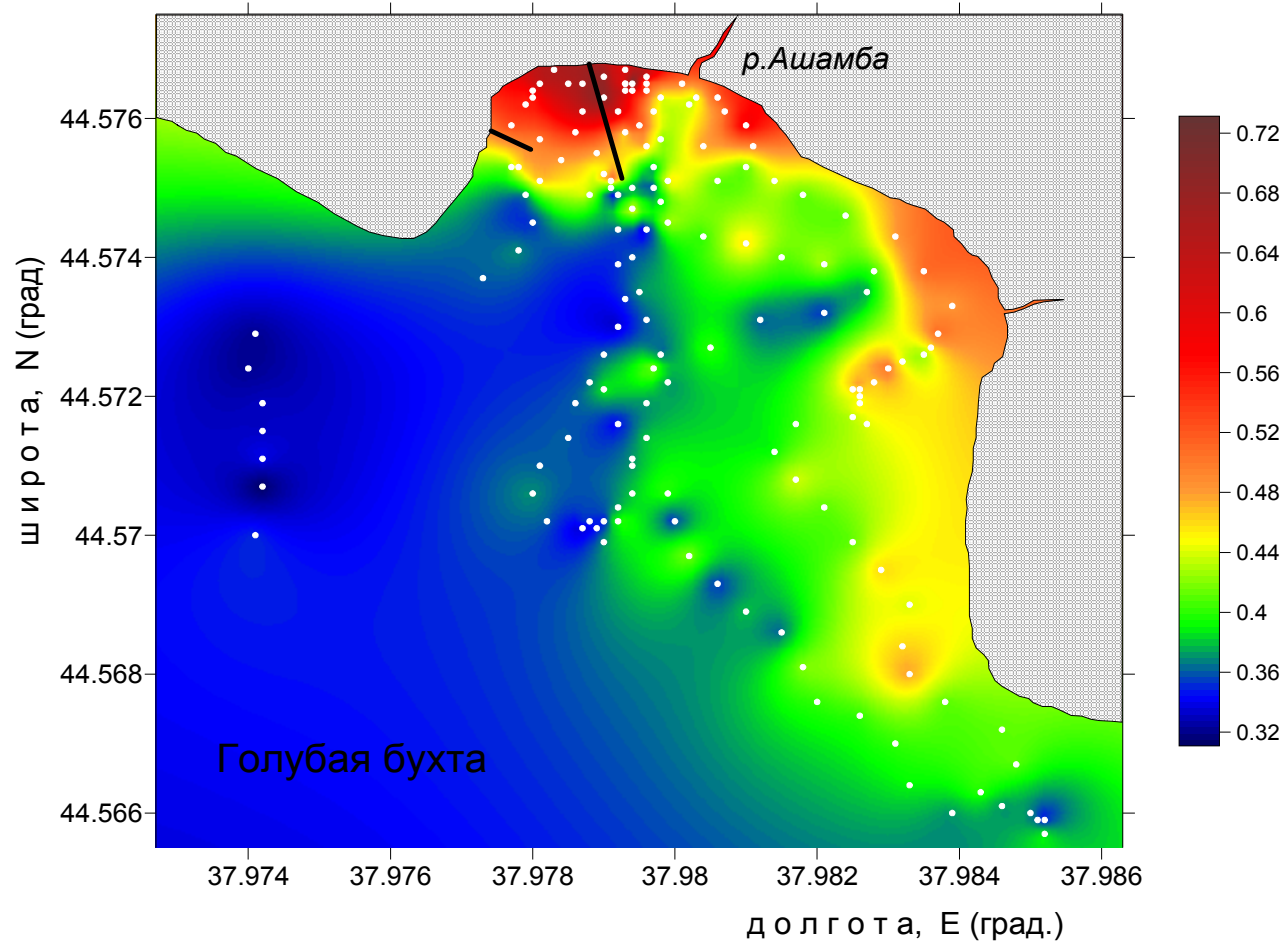
Mzymta mouth. Salinity at surface, psu.



Mzymta mouth. Temperature at surface, °C.

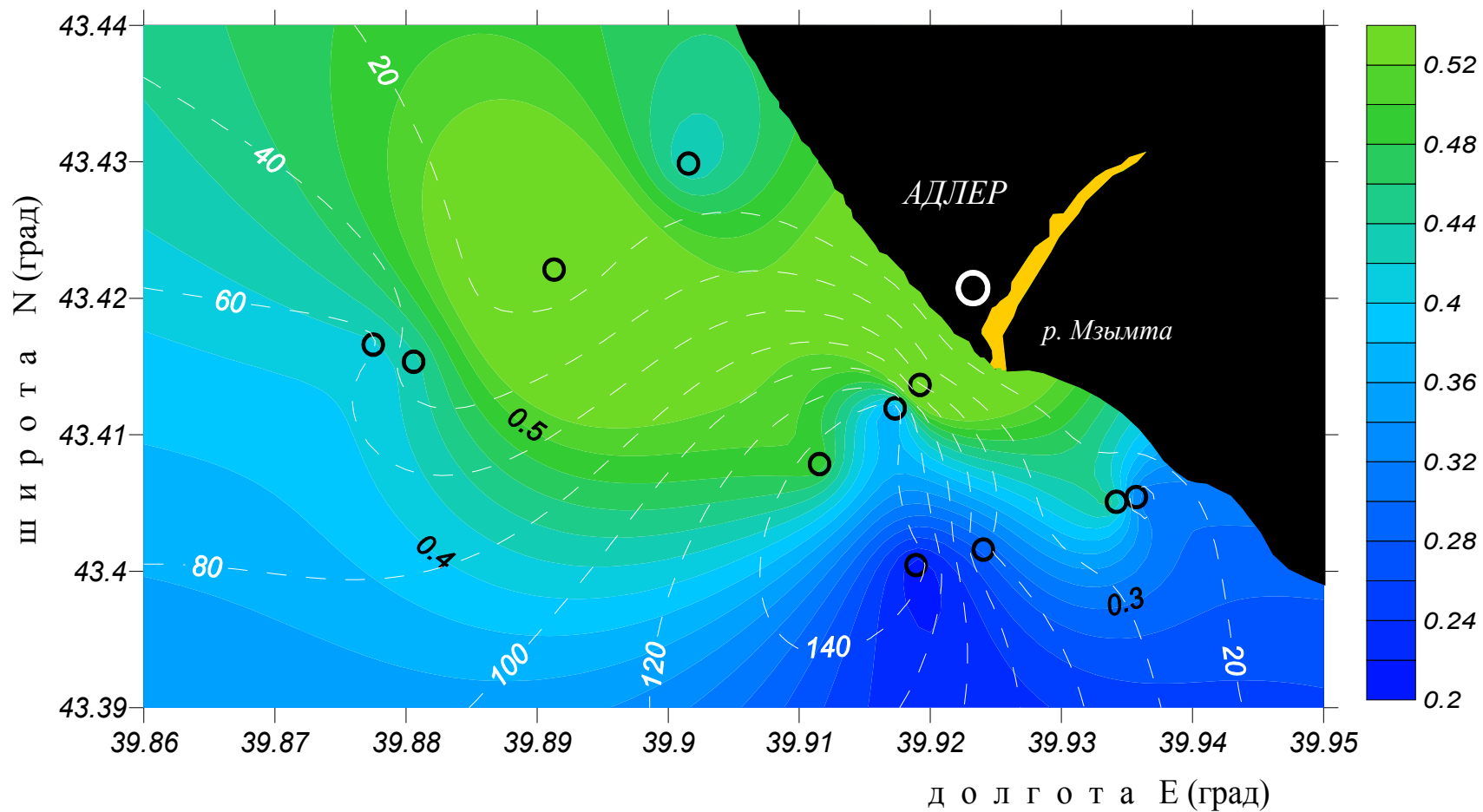


“Yellow matter” near Ashamba mouth



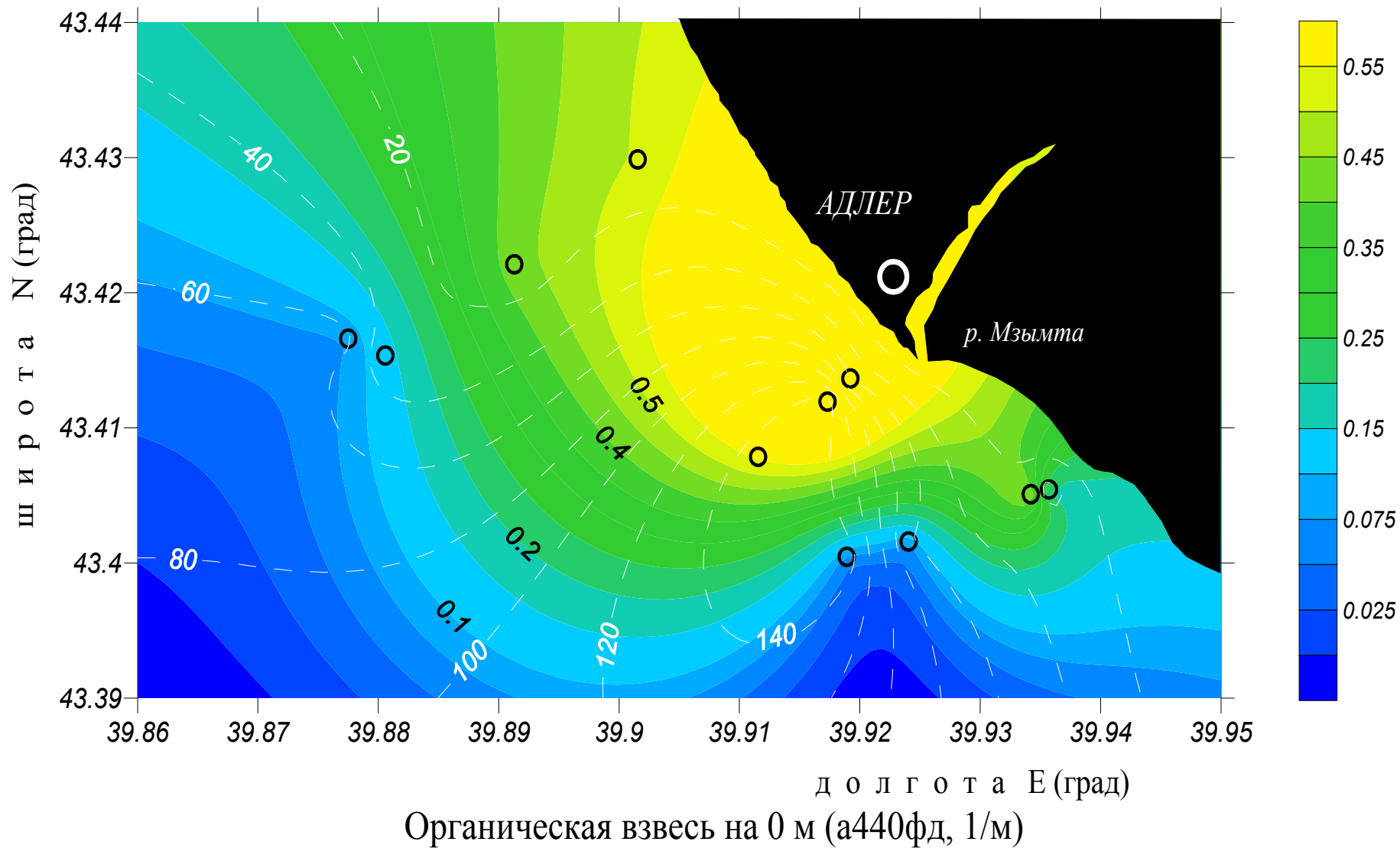
Распределение растворенного "желтого вещества" в поверхностном слое (усл. ед.)

Chlorophyll near Mzymta mouth

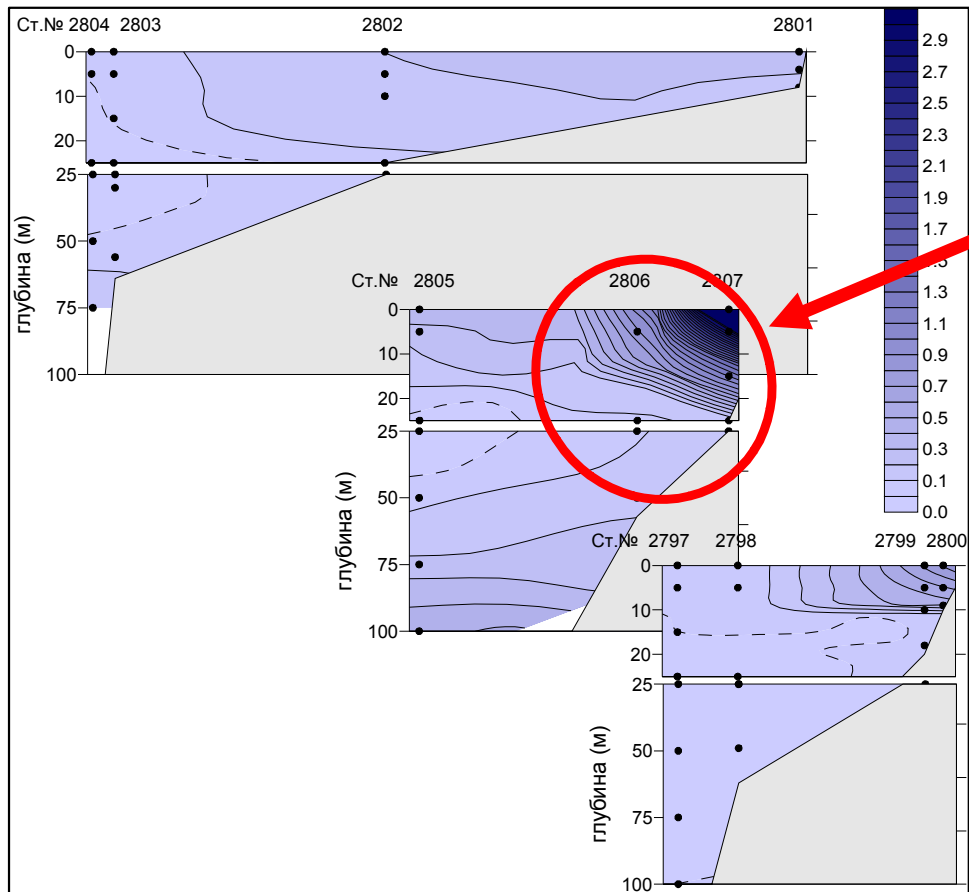


Хлорофилл на 0 м (мг/м³)

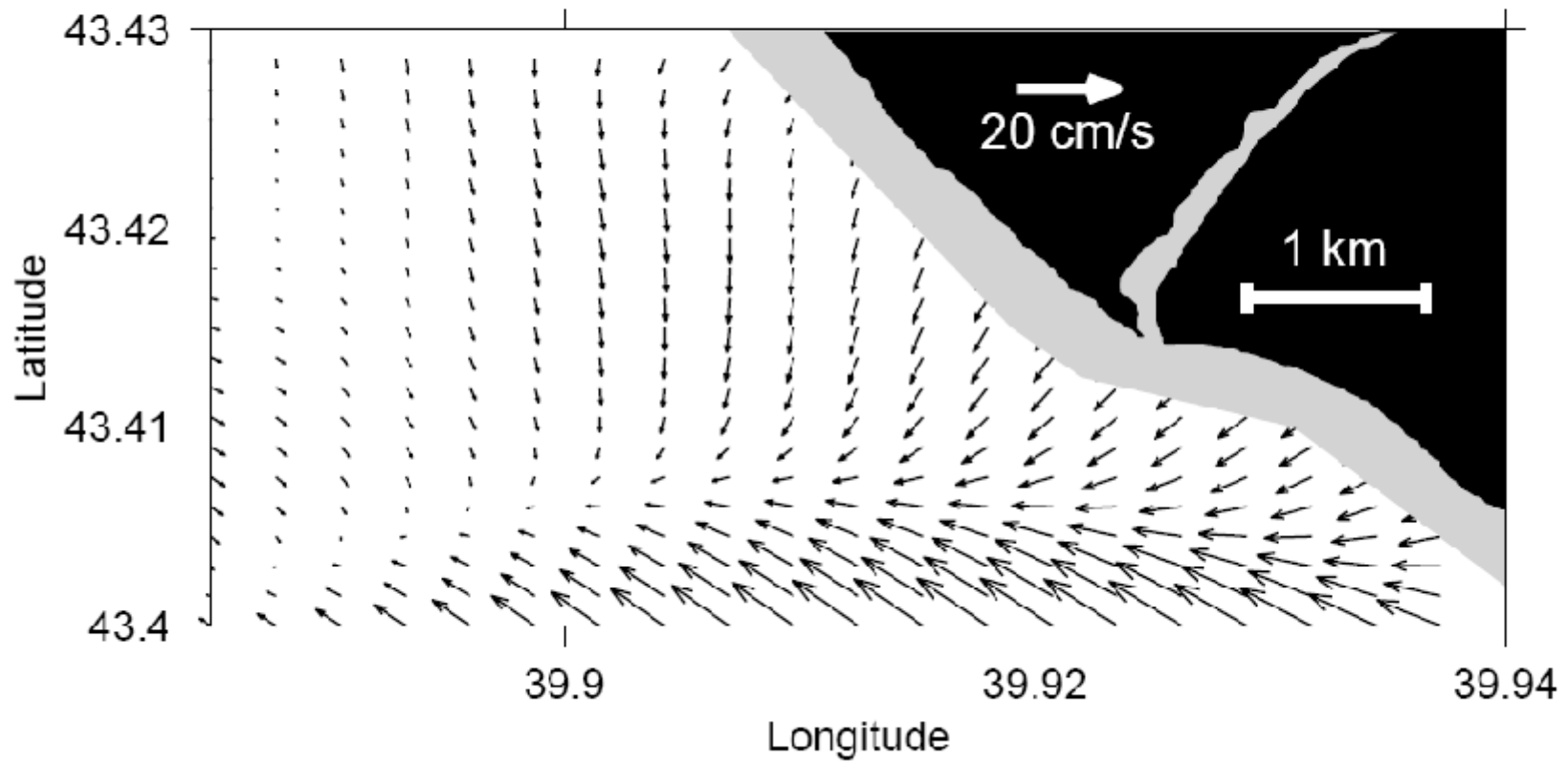
Suspended matter near Mzymta mouth



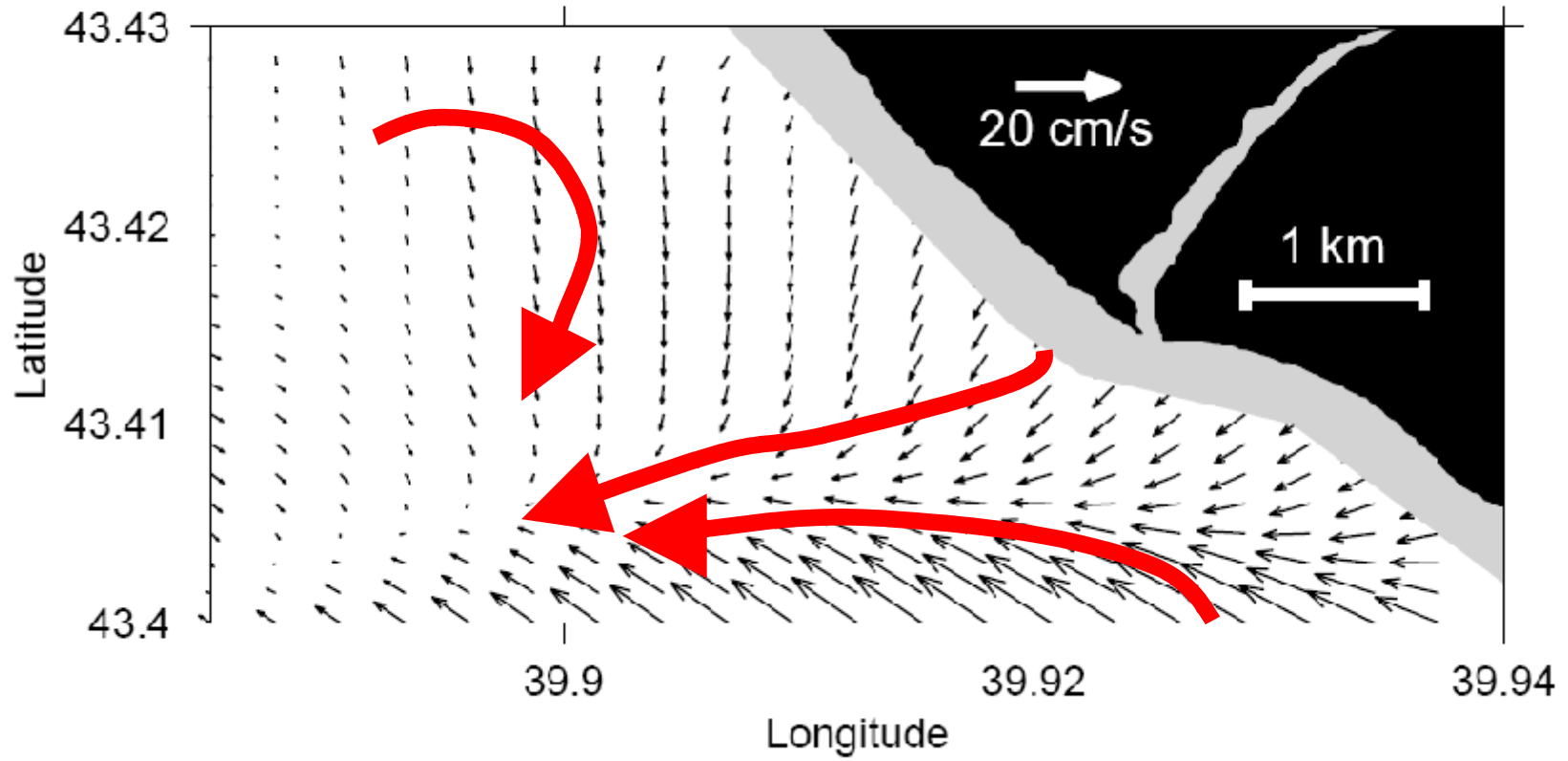
Non-organic P near Mzymta mouth



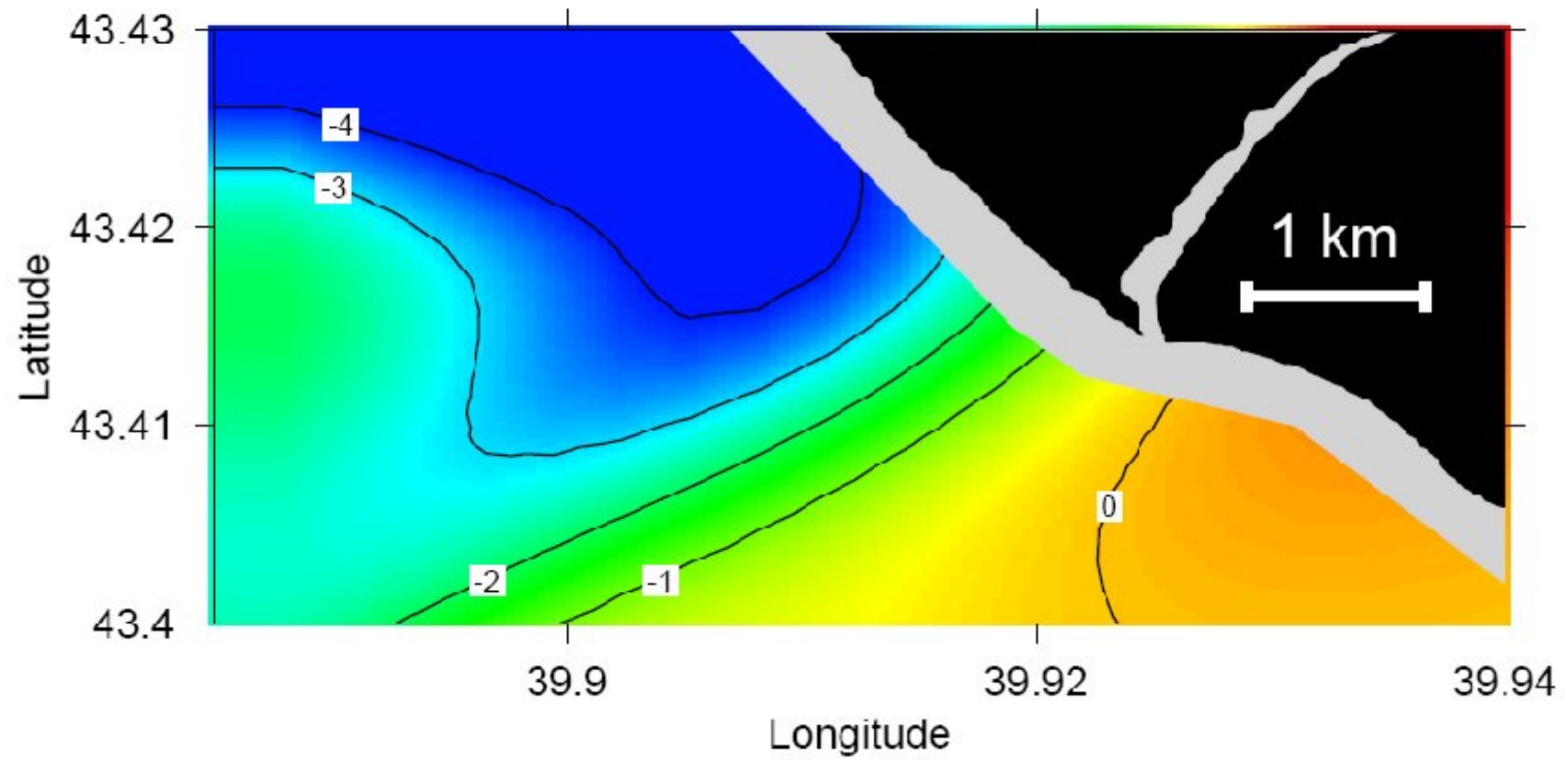
Mzymta mouth. Velocity at surface.



Mzymta mouth. Velocity at surface.

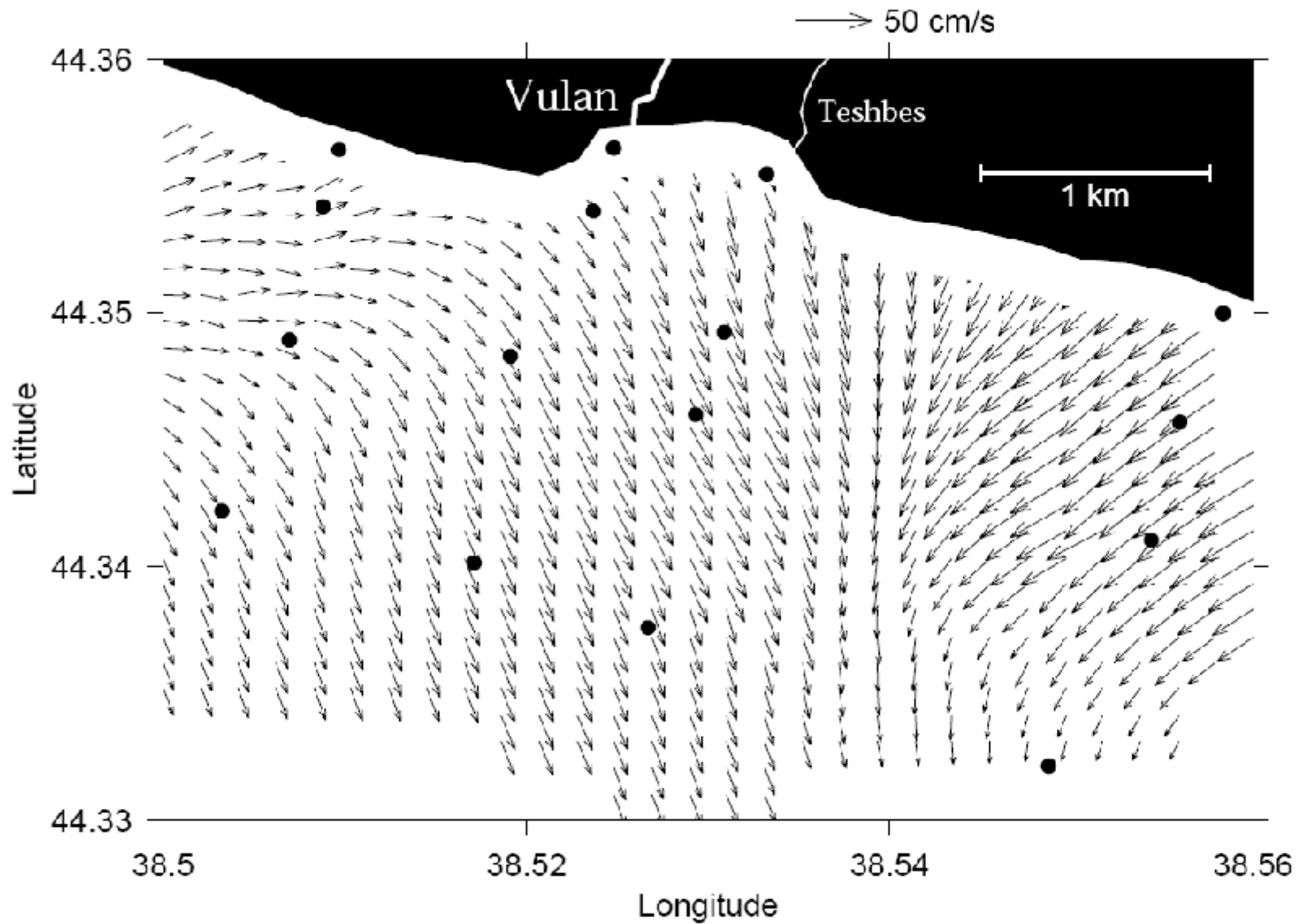


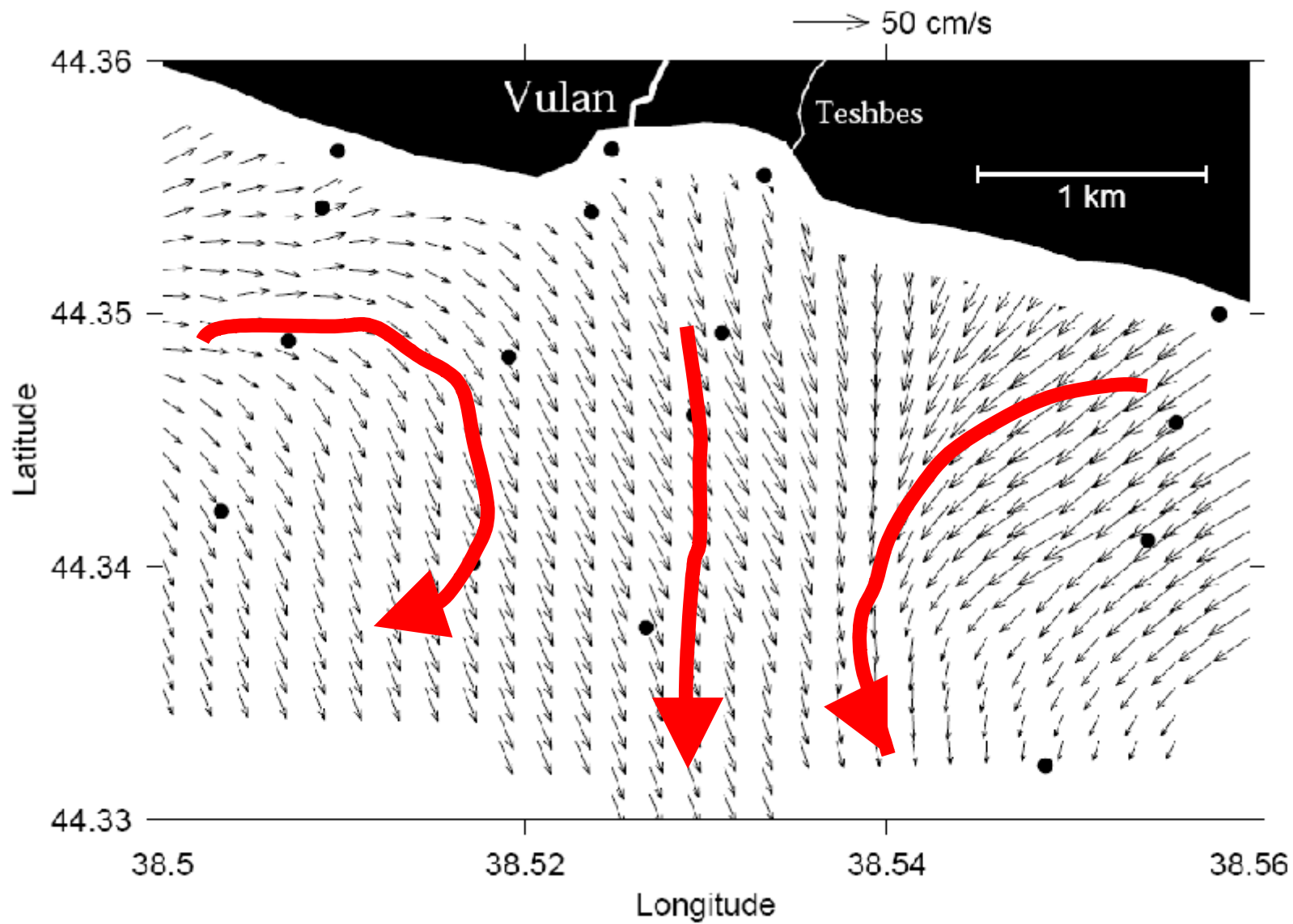
Mzymta mouth. Vorticity, 10^{-5} s^{-1} .

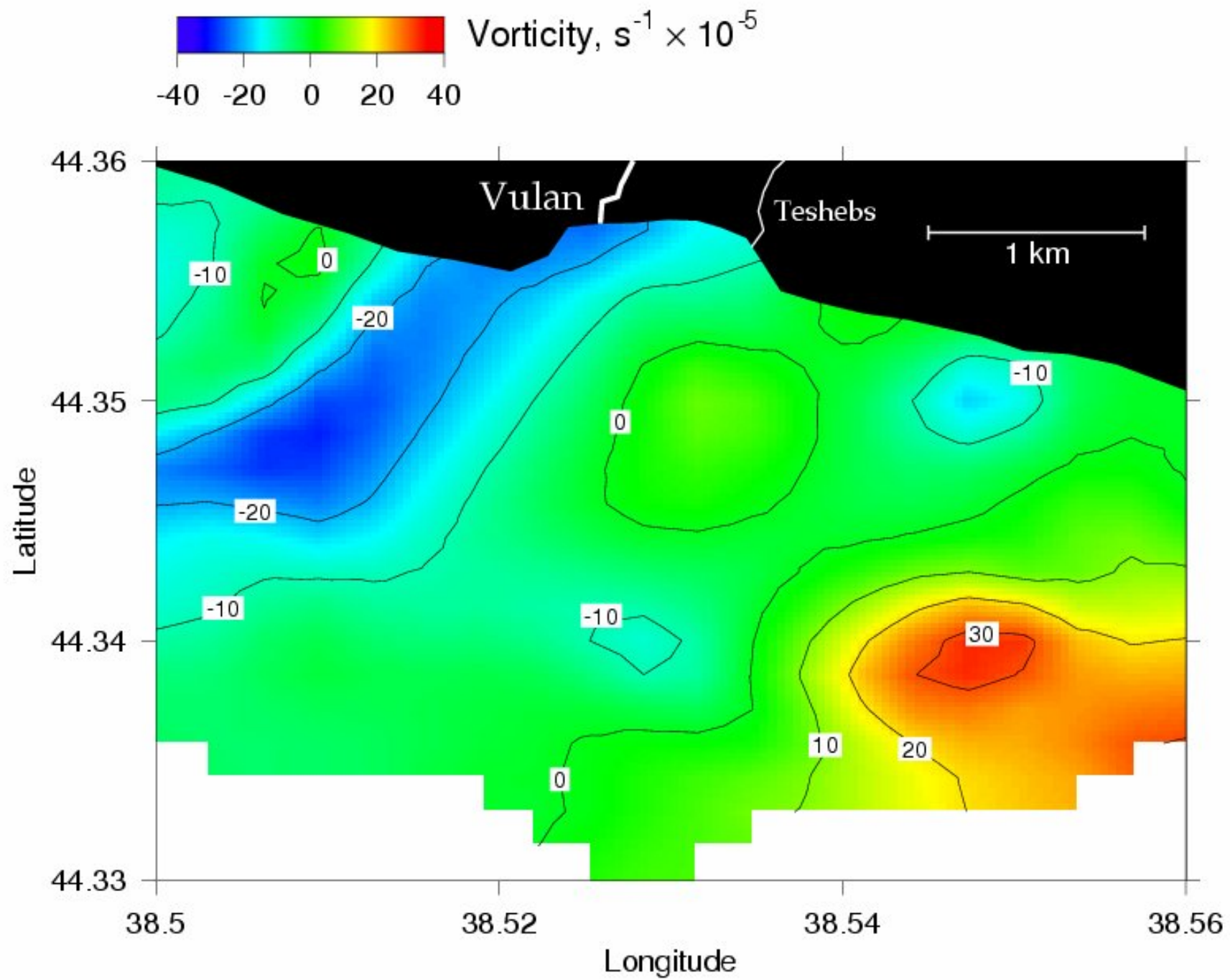


Velocity near Vulcan mouth

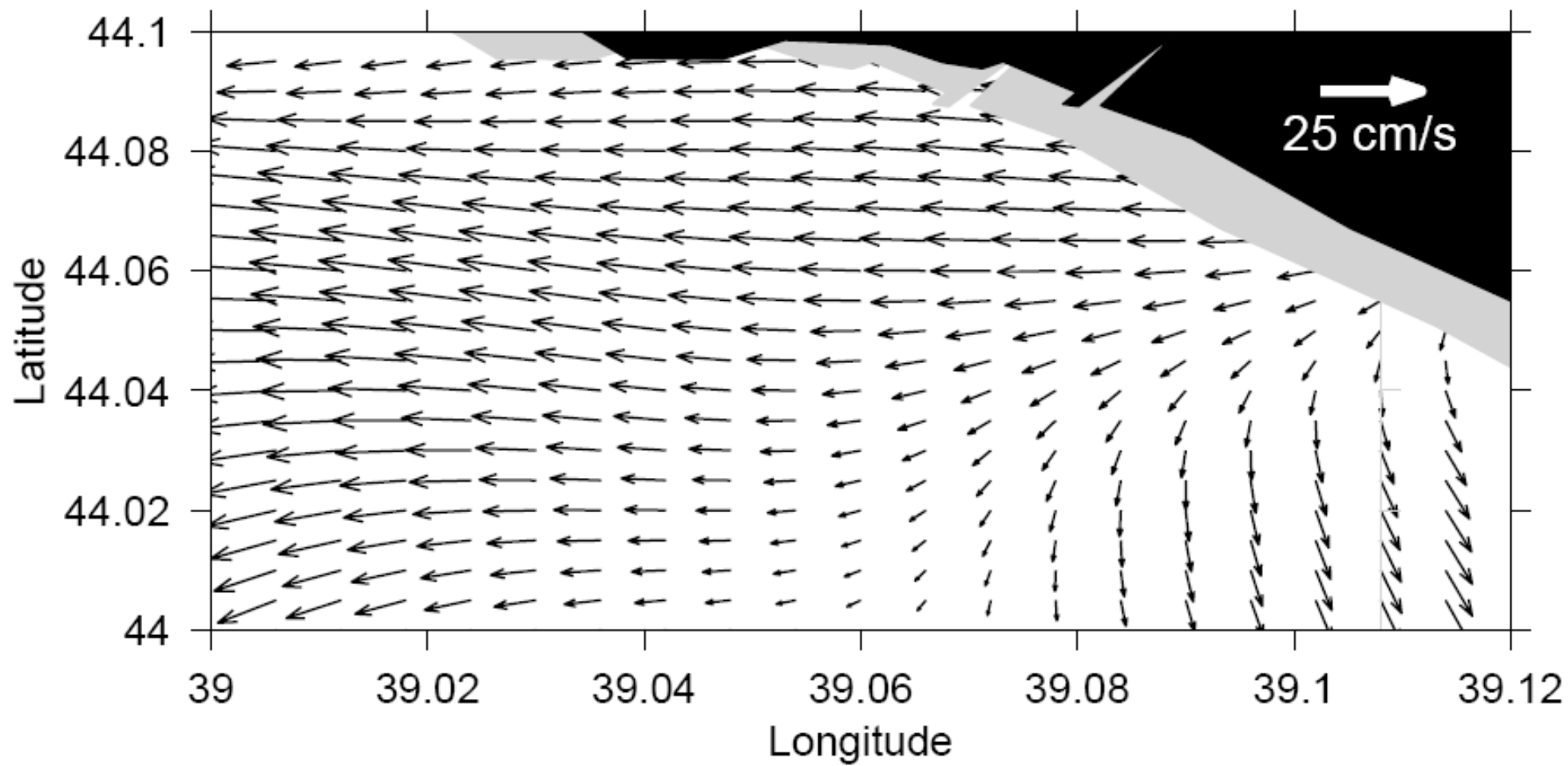
7/06/2006



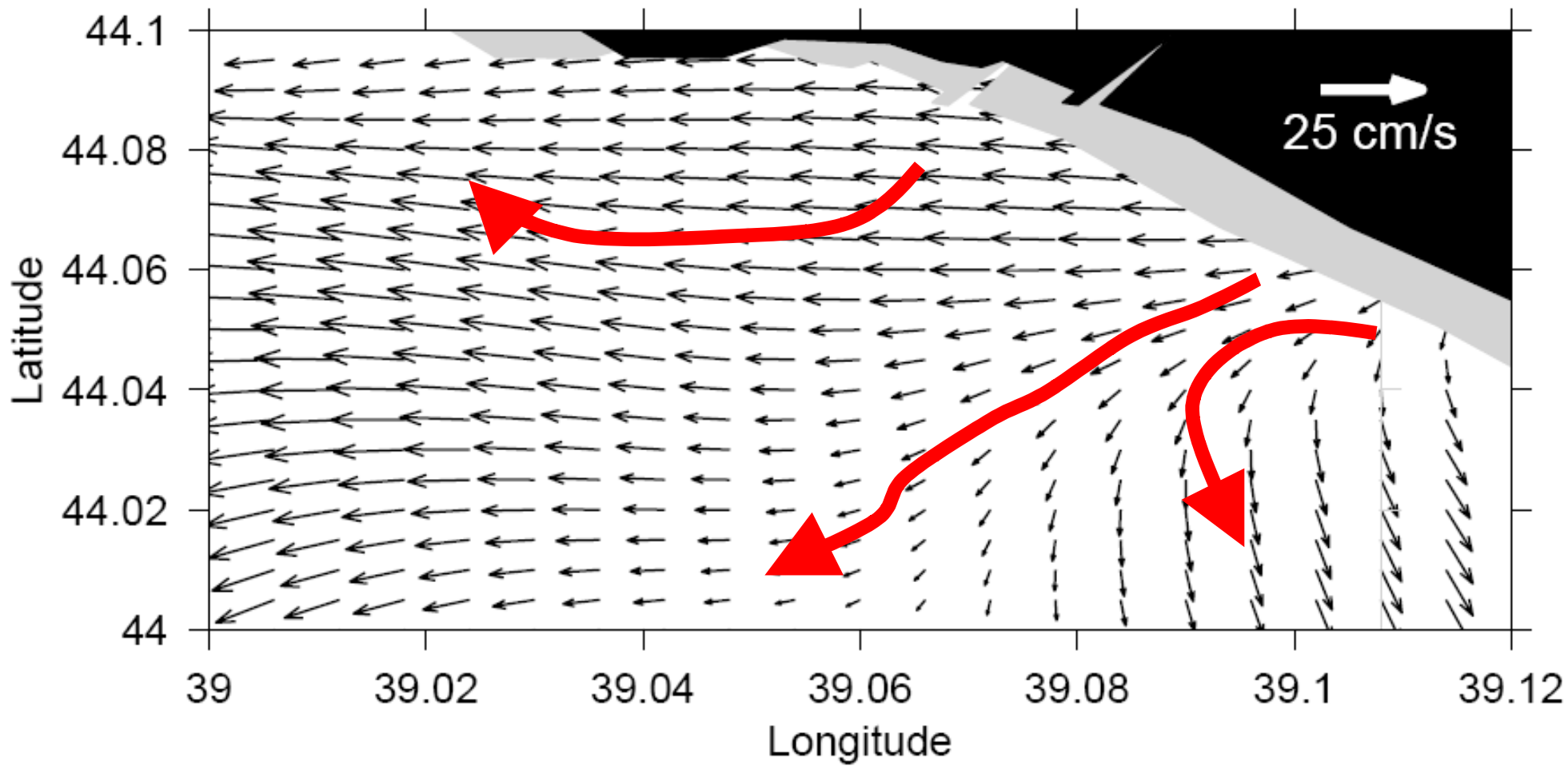




Tuapse mouth. Velocity at surface.

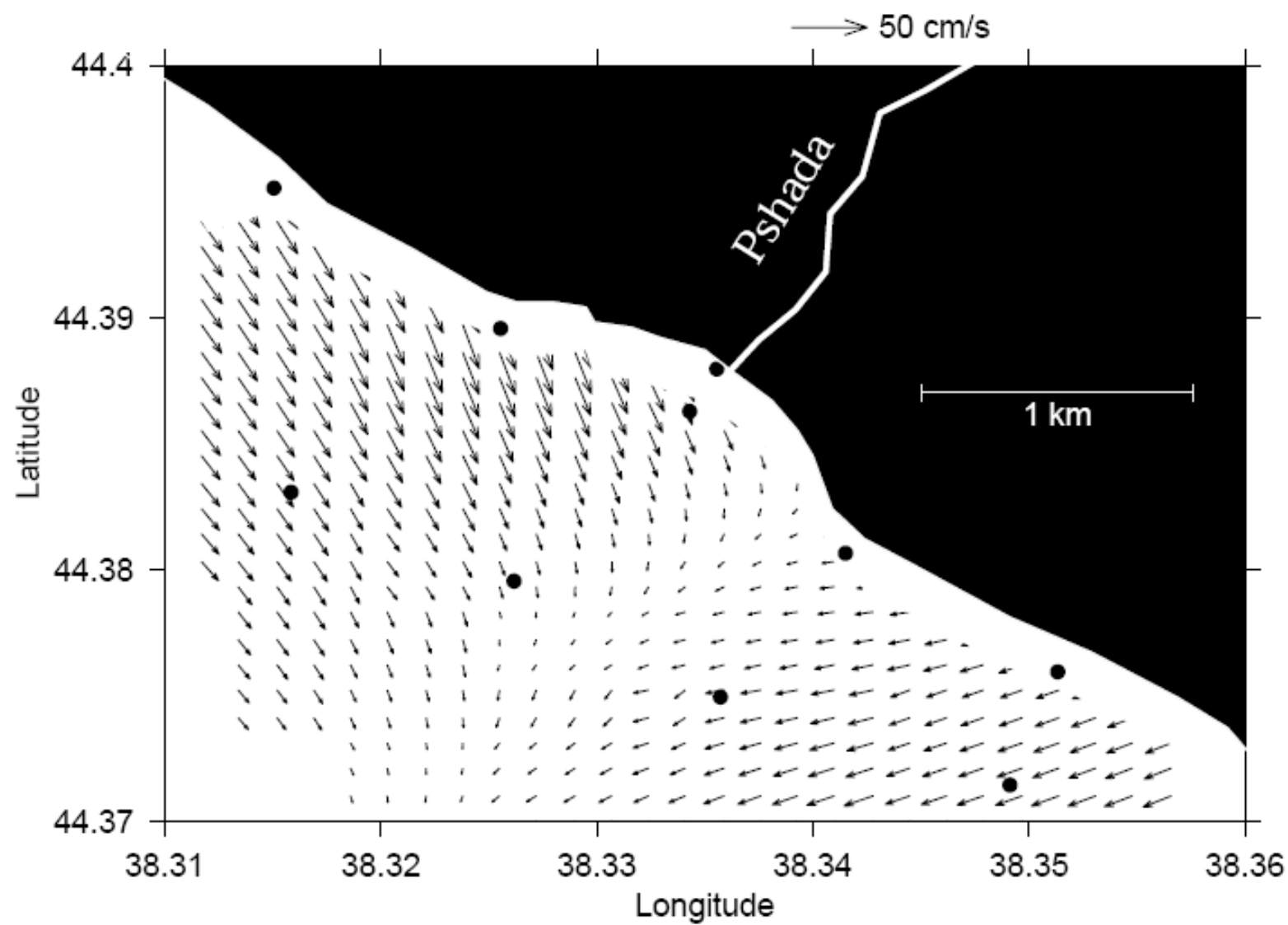


Tuapse mouth. Velocity at surface.

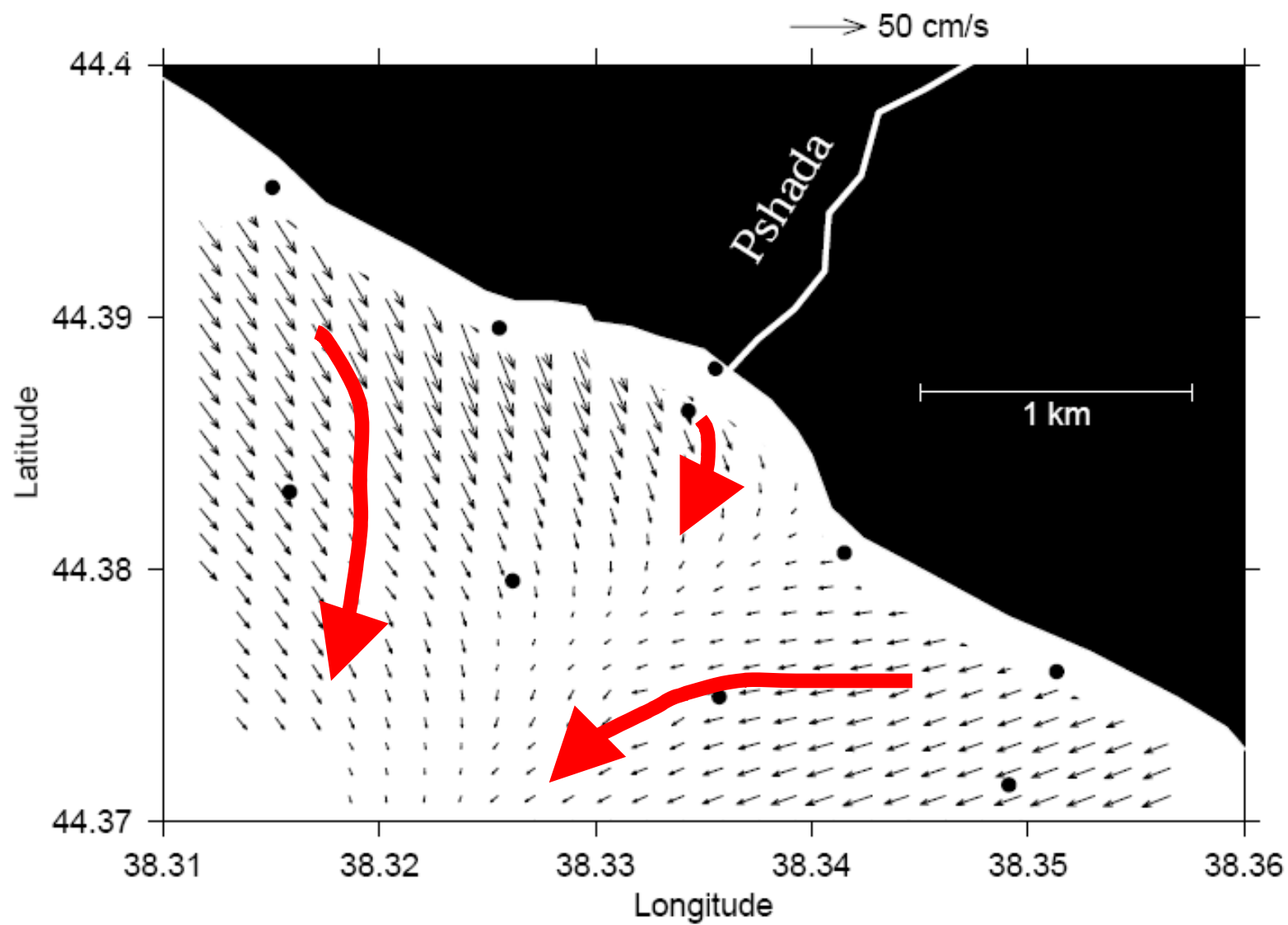


Течения у устья р.Пшава

2/06/2006

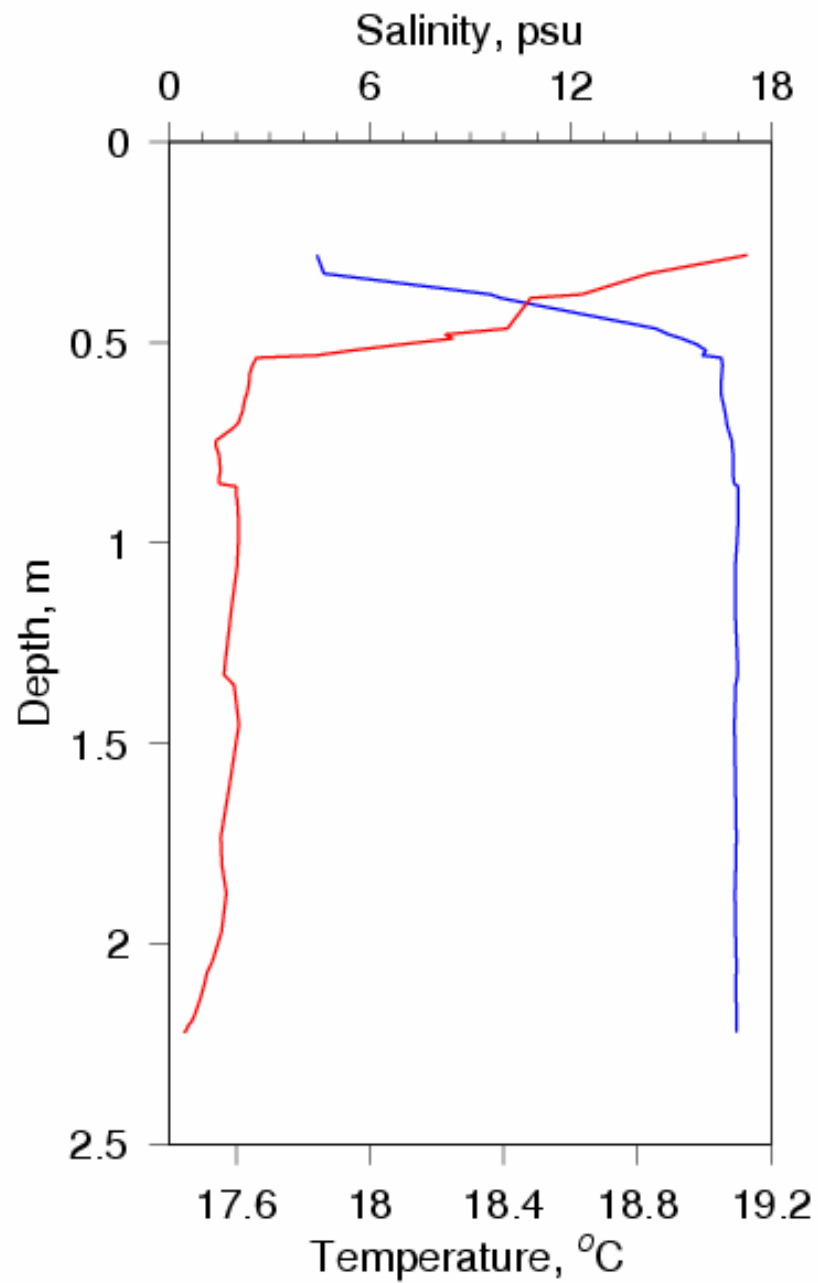


Течения у устья р.Пшада 2/06/2006



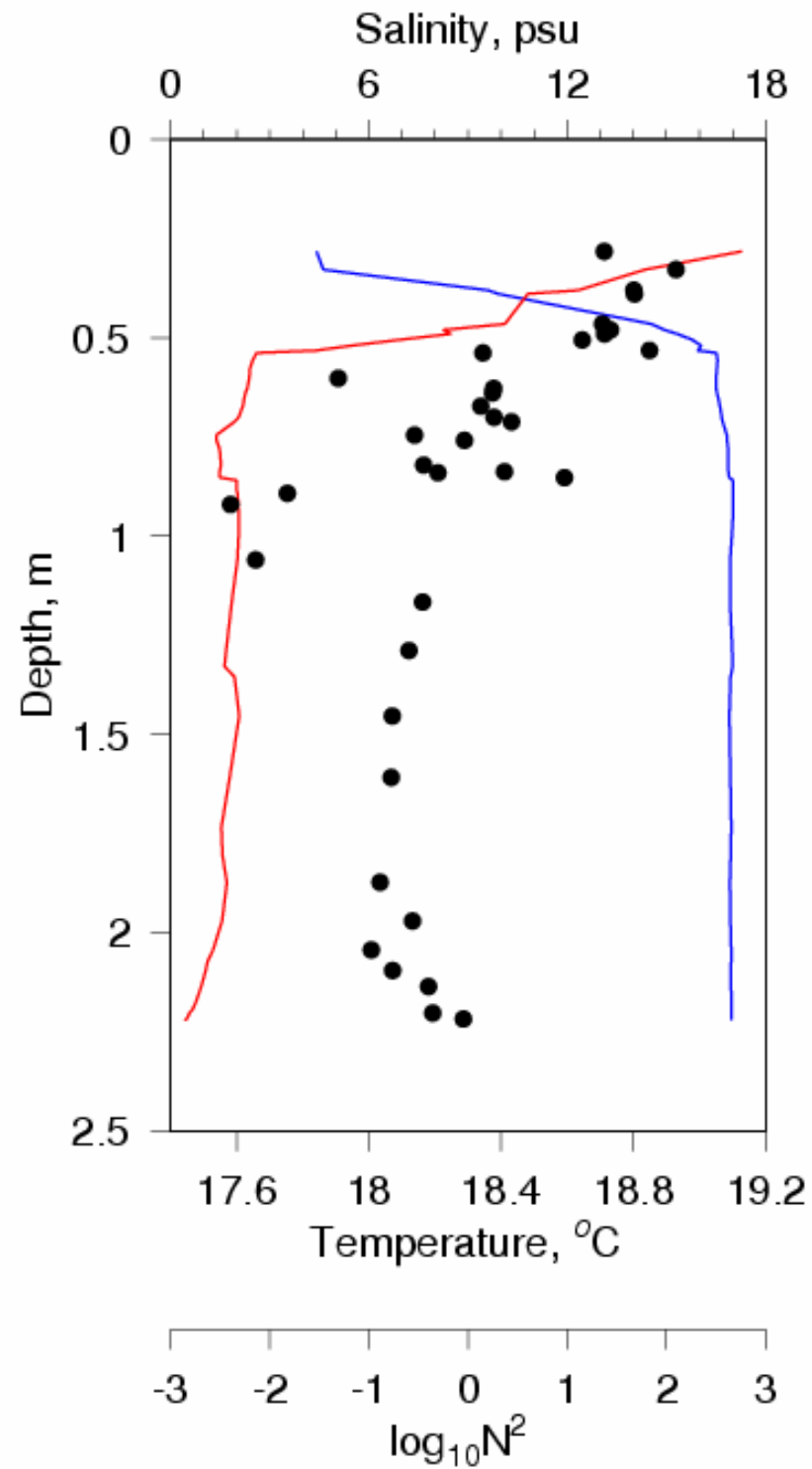
Вулан:

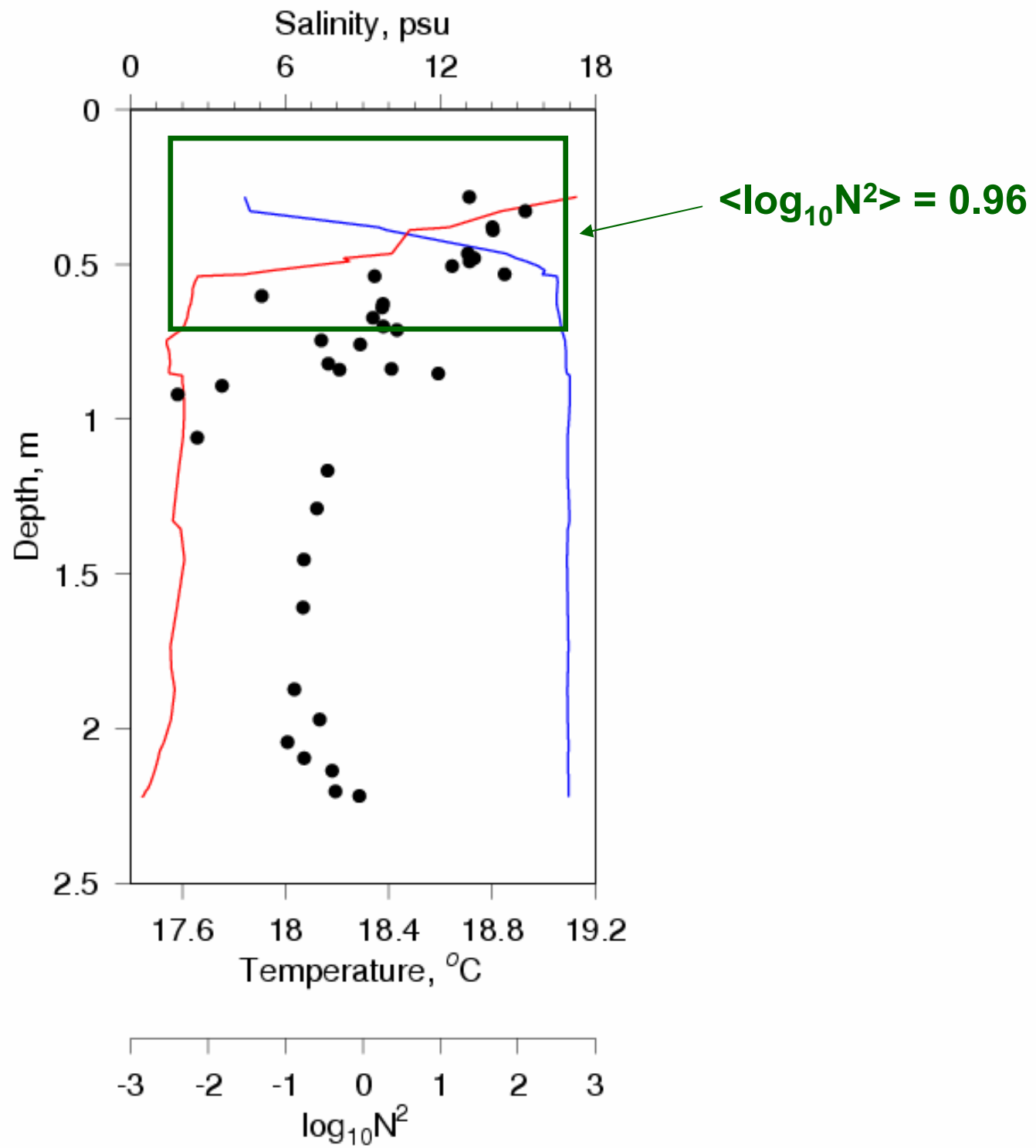
температура,
соленость

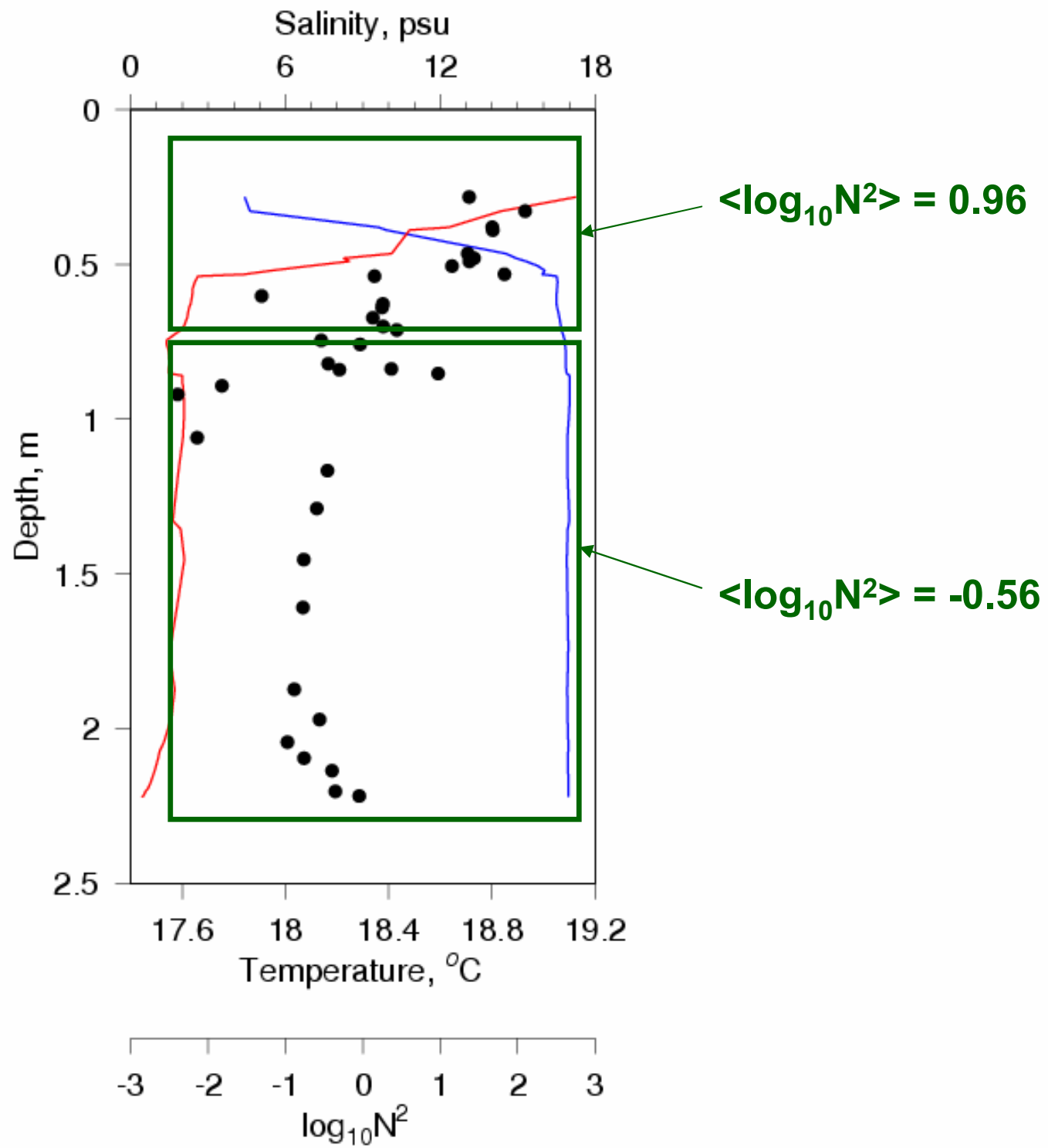


Вулан:

температура,
соленость,
частота
плавучести







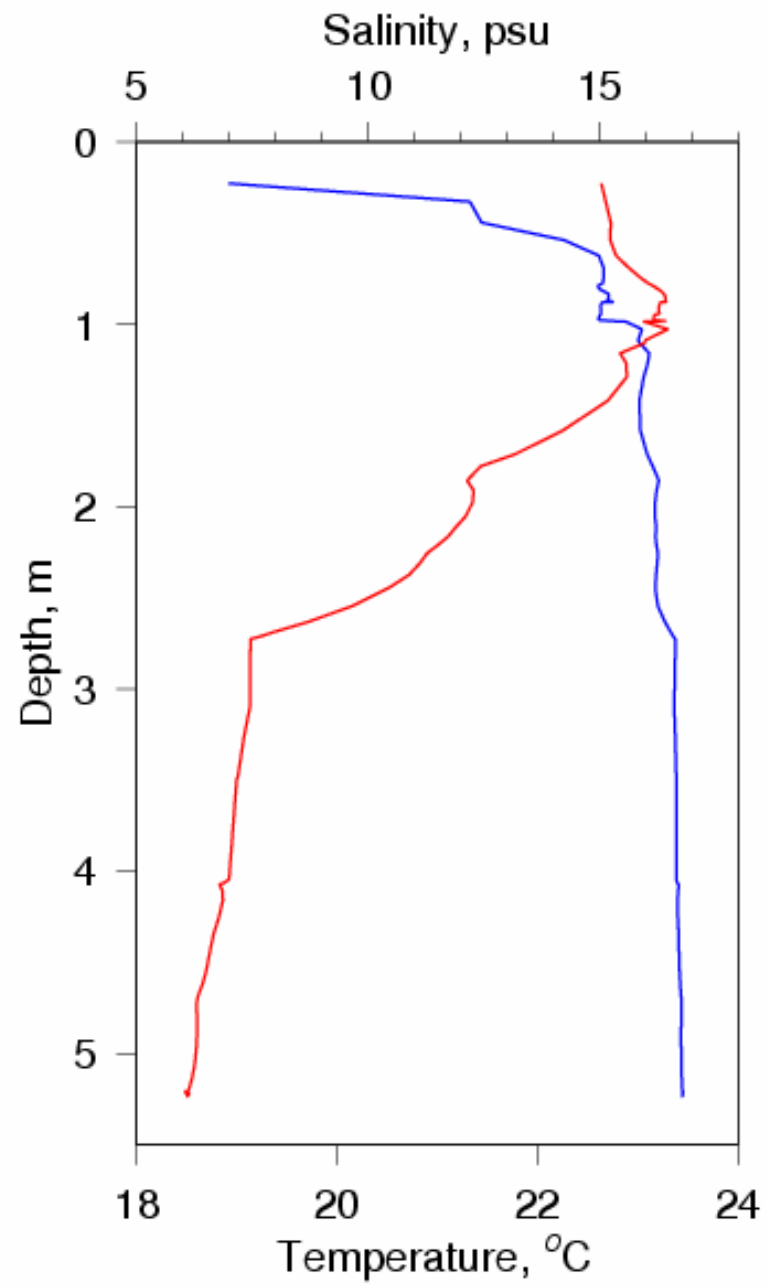
$$A_v \sim \varepsilon/N^2$$

[e.g., *Gregg*, 1984]

⇒ ⇒ *Within this model, eddy viscosity at the bottom edge of Vulcan plume was reduced by a factor of 33 compared with that in the ambient waters*

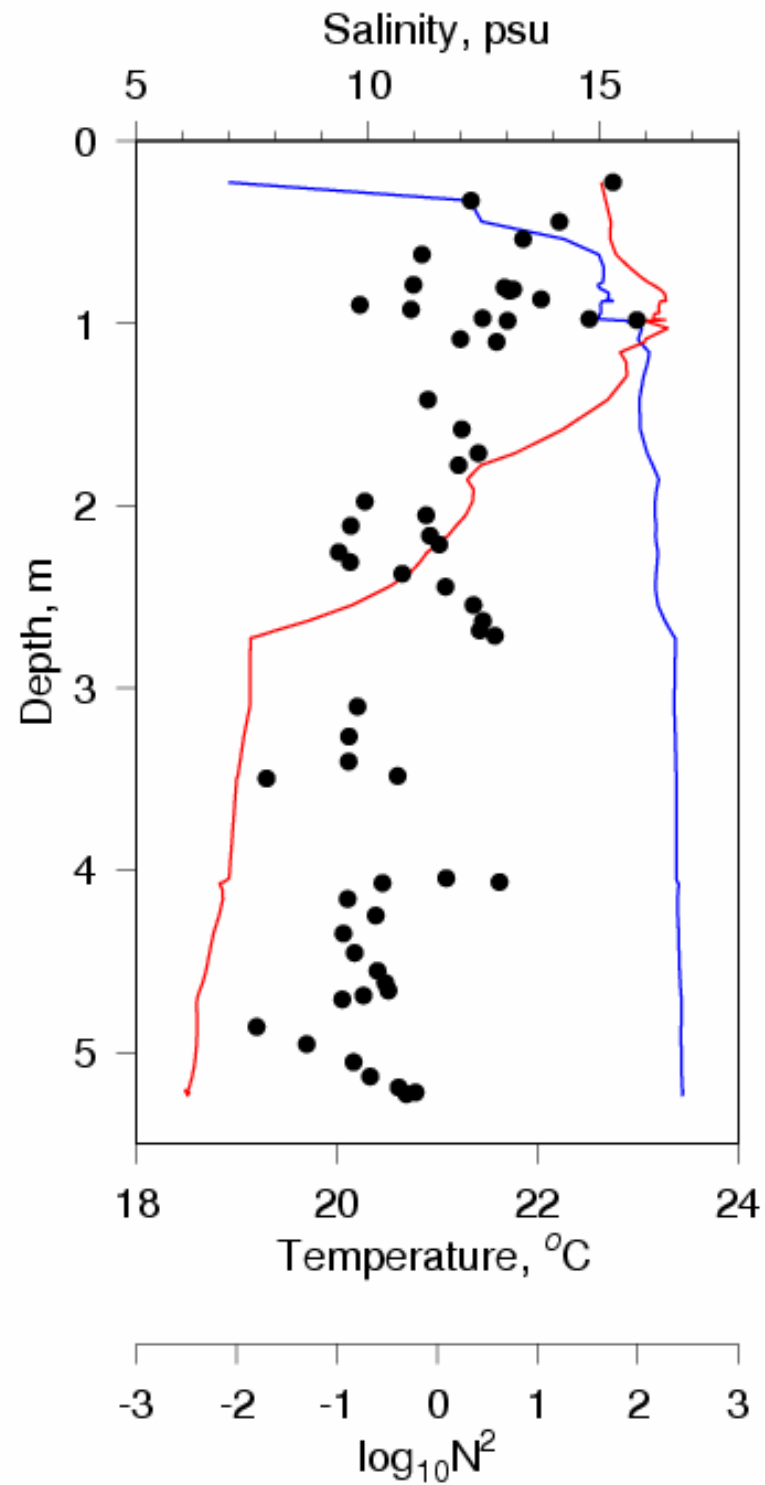
Пшада:

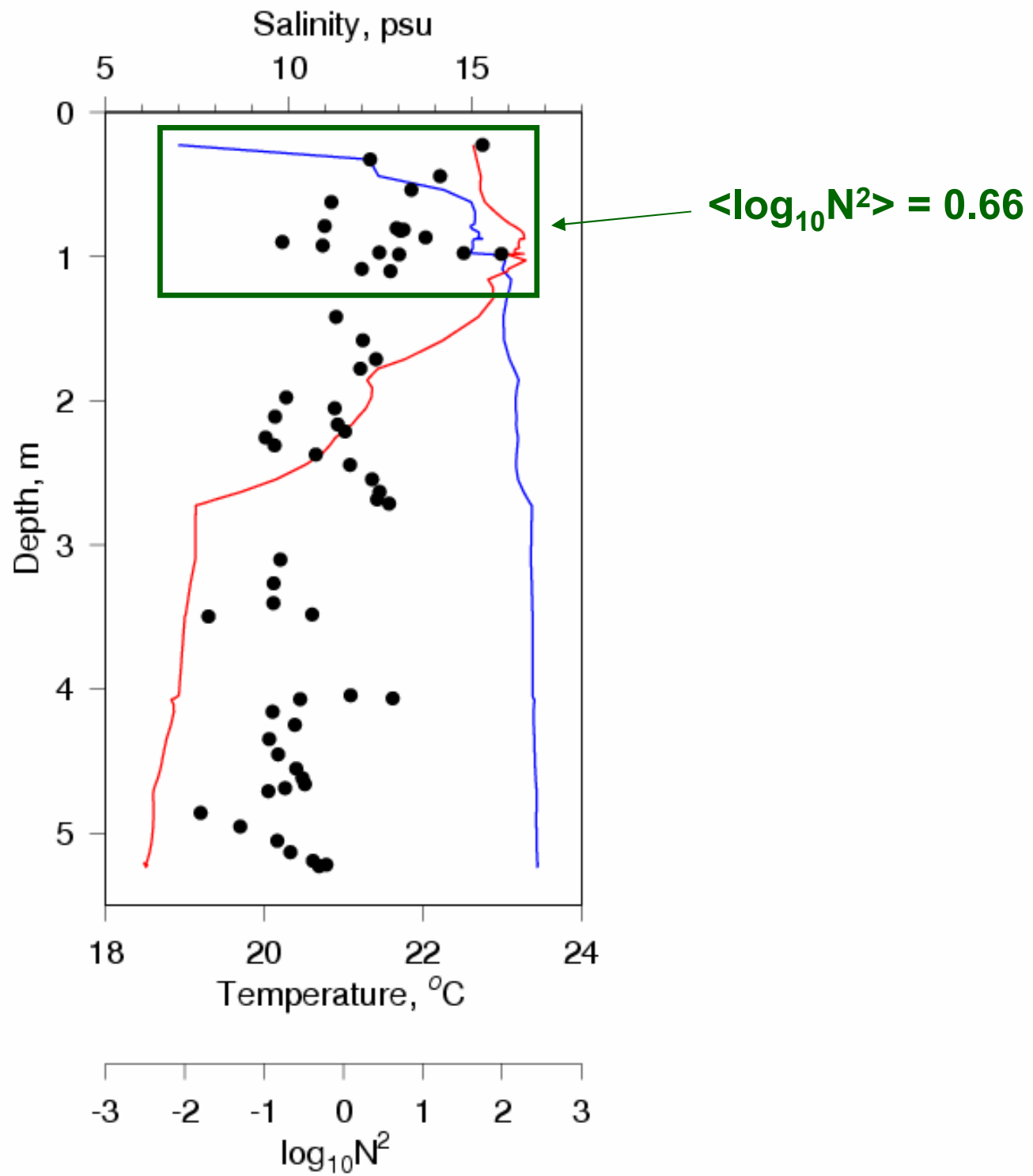
температура,
соленость

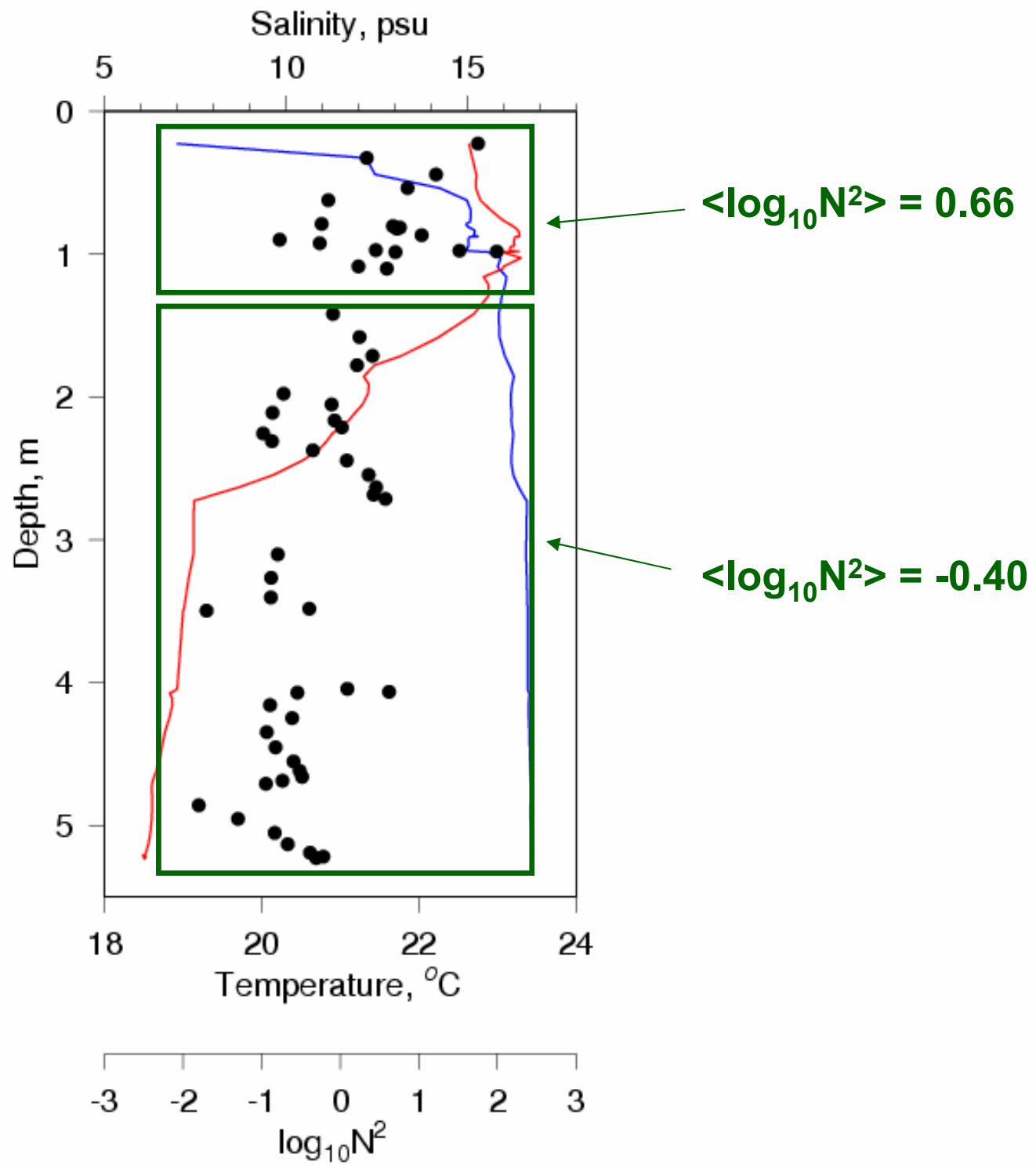


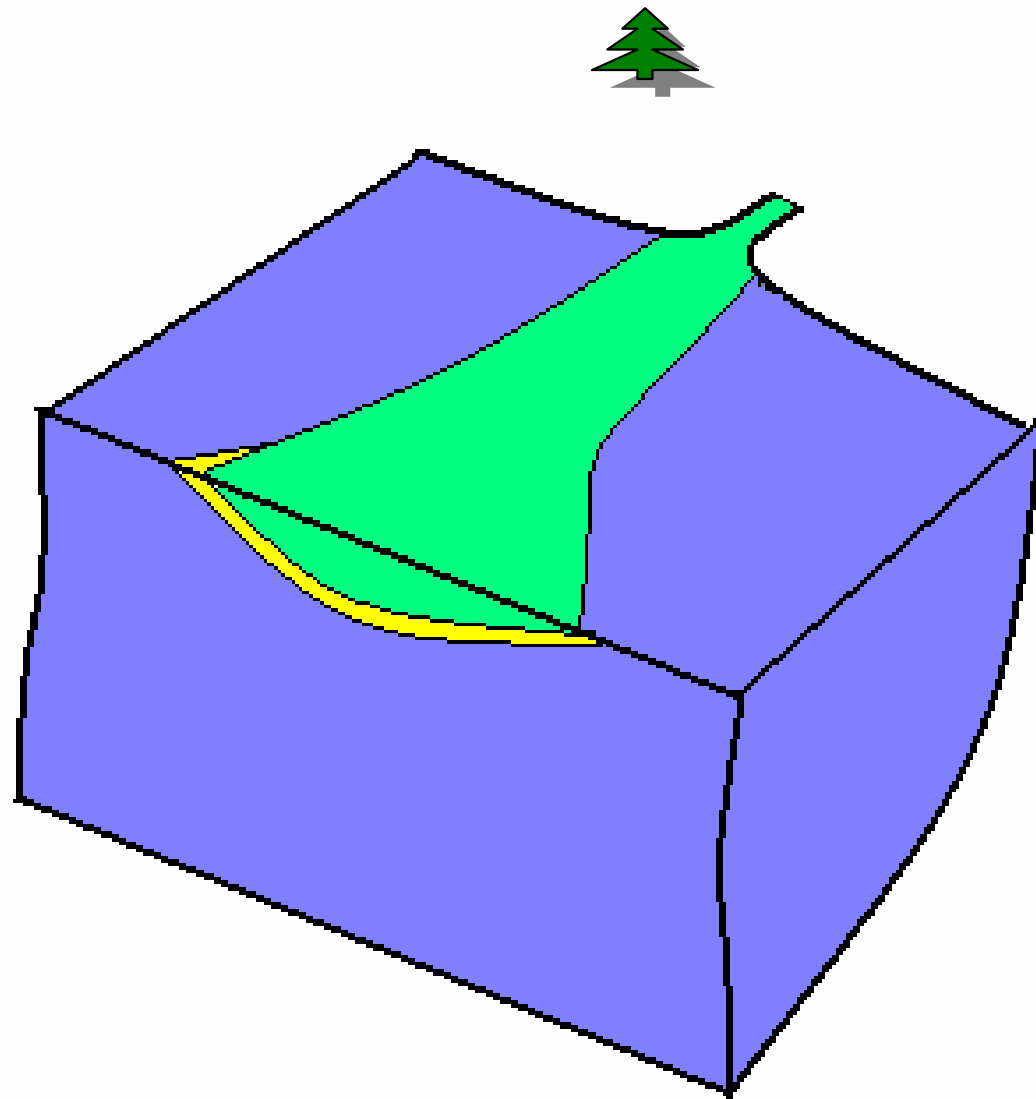
Пшада:

температура,
соленость,
частота
плавучести



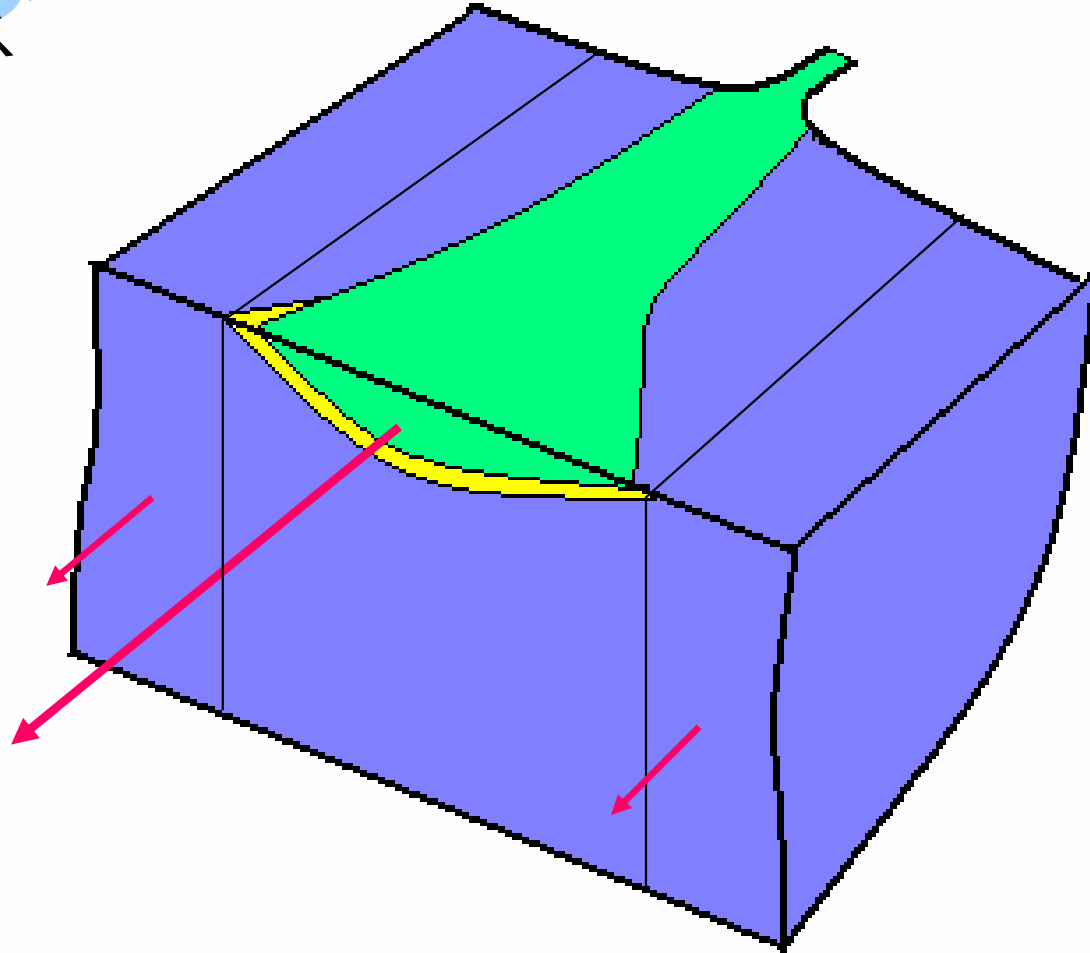


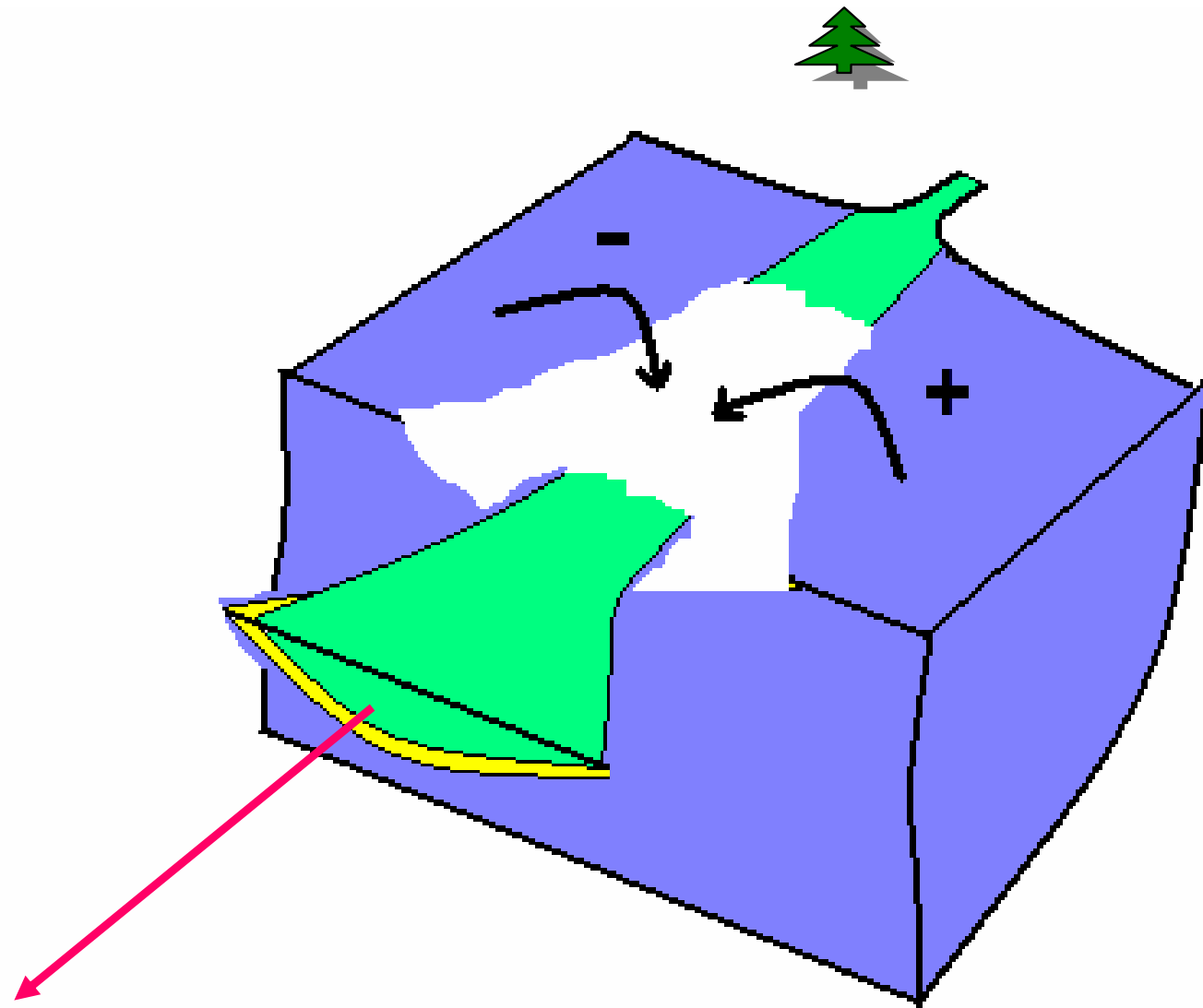




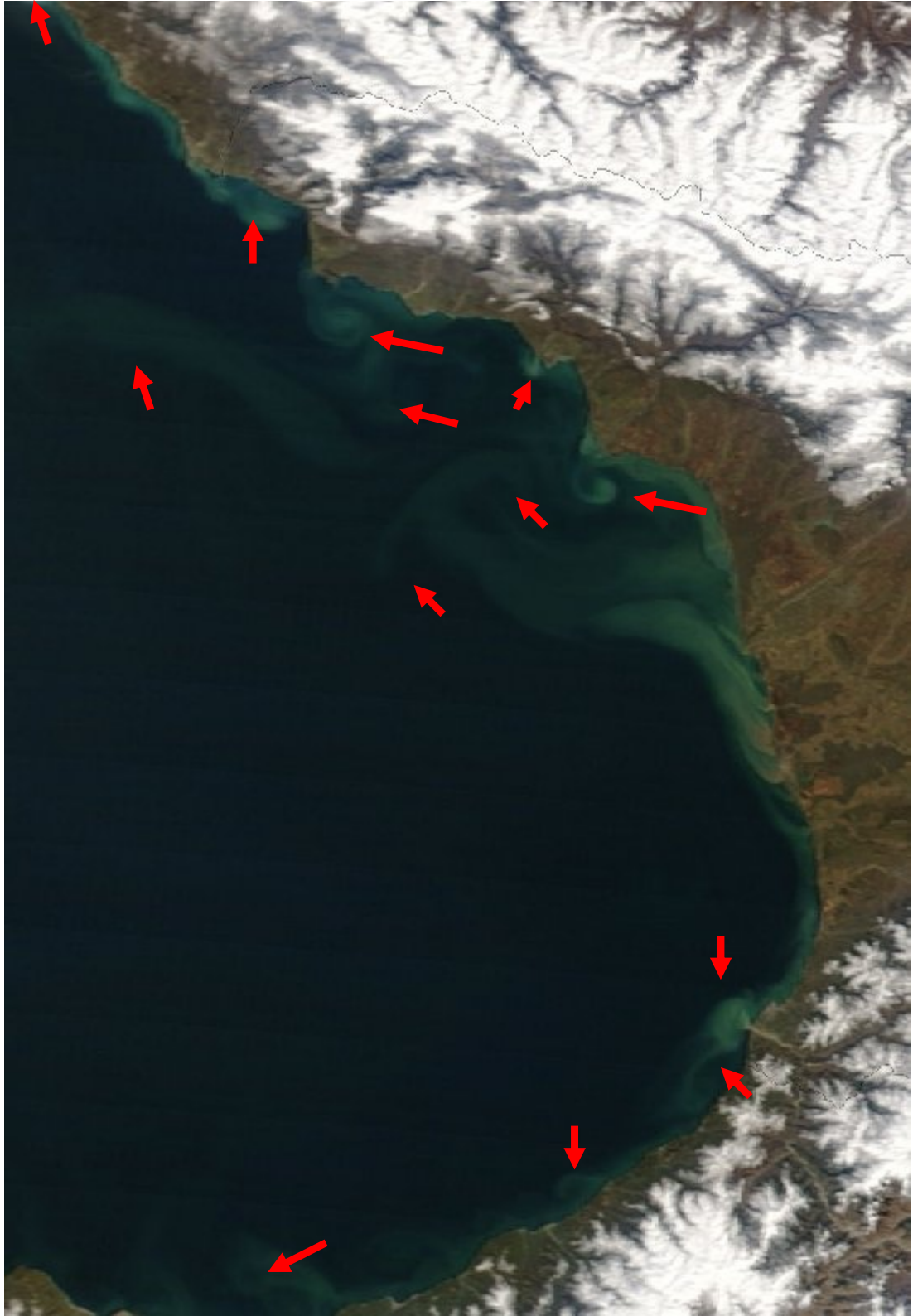


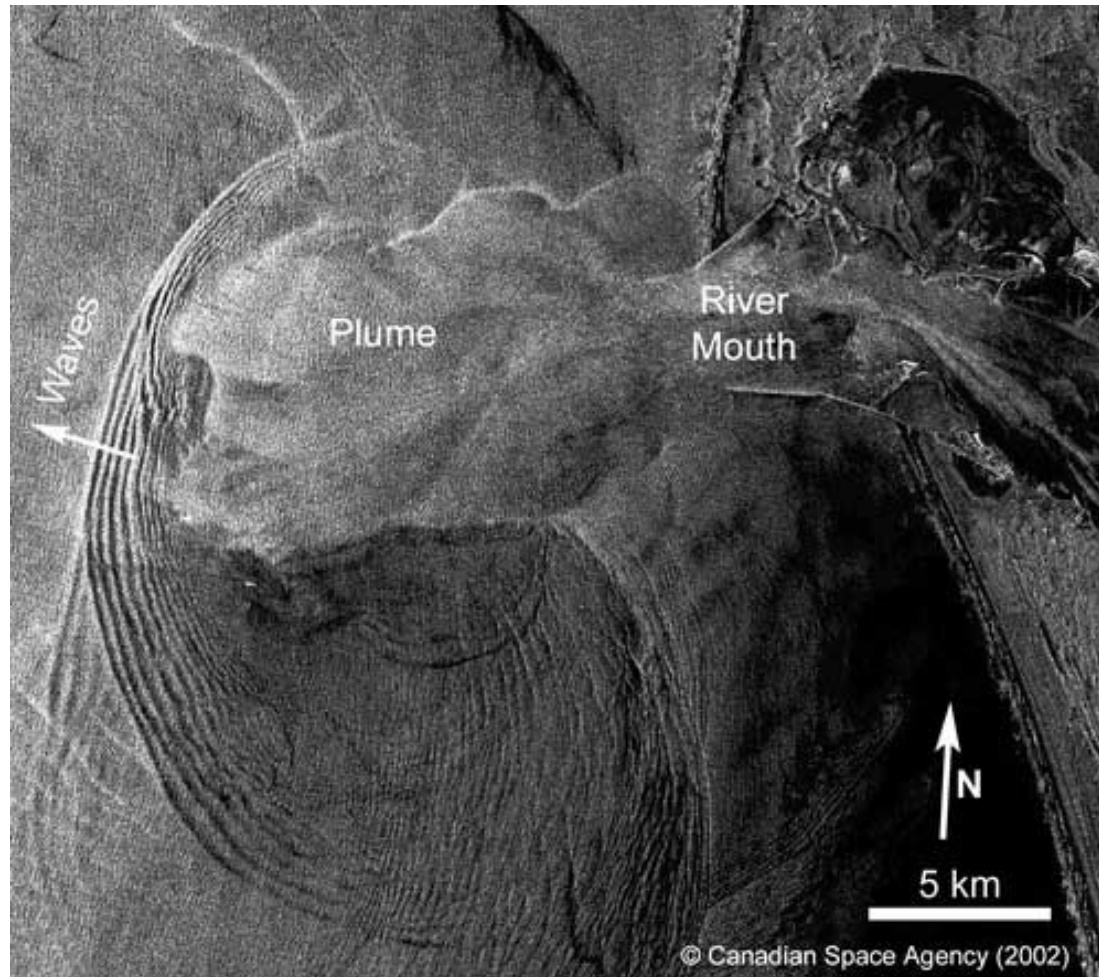
Wind stress



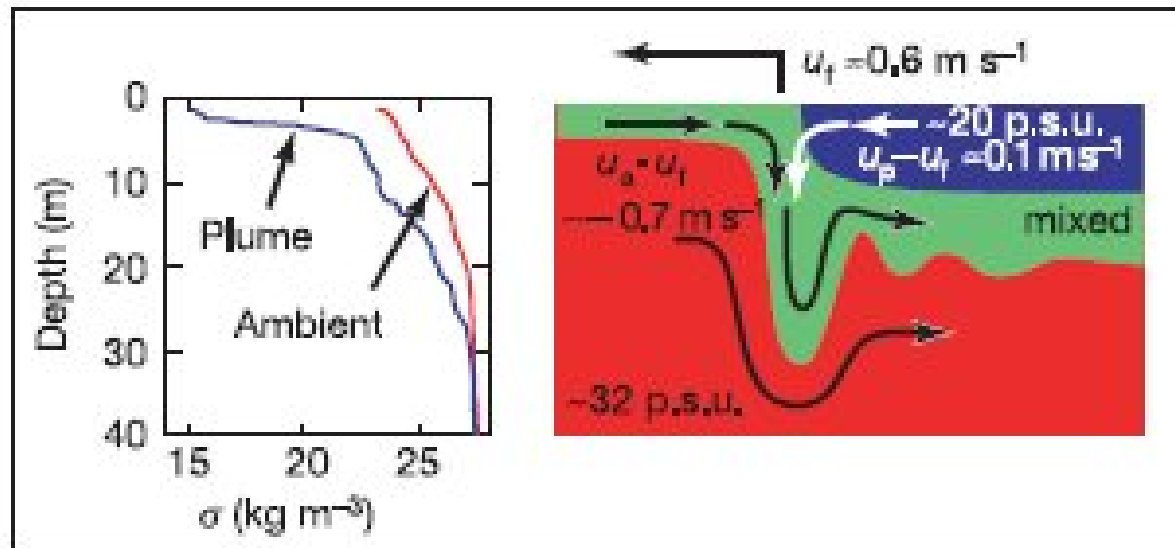








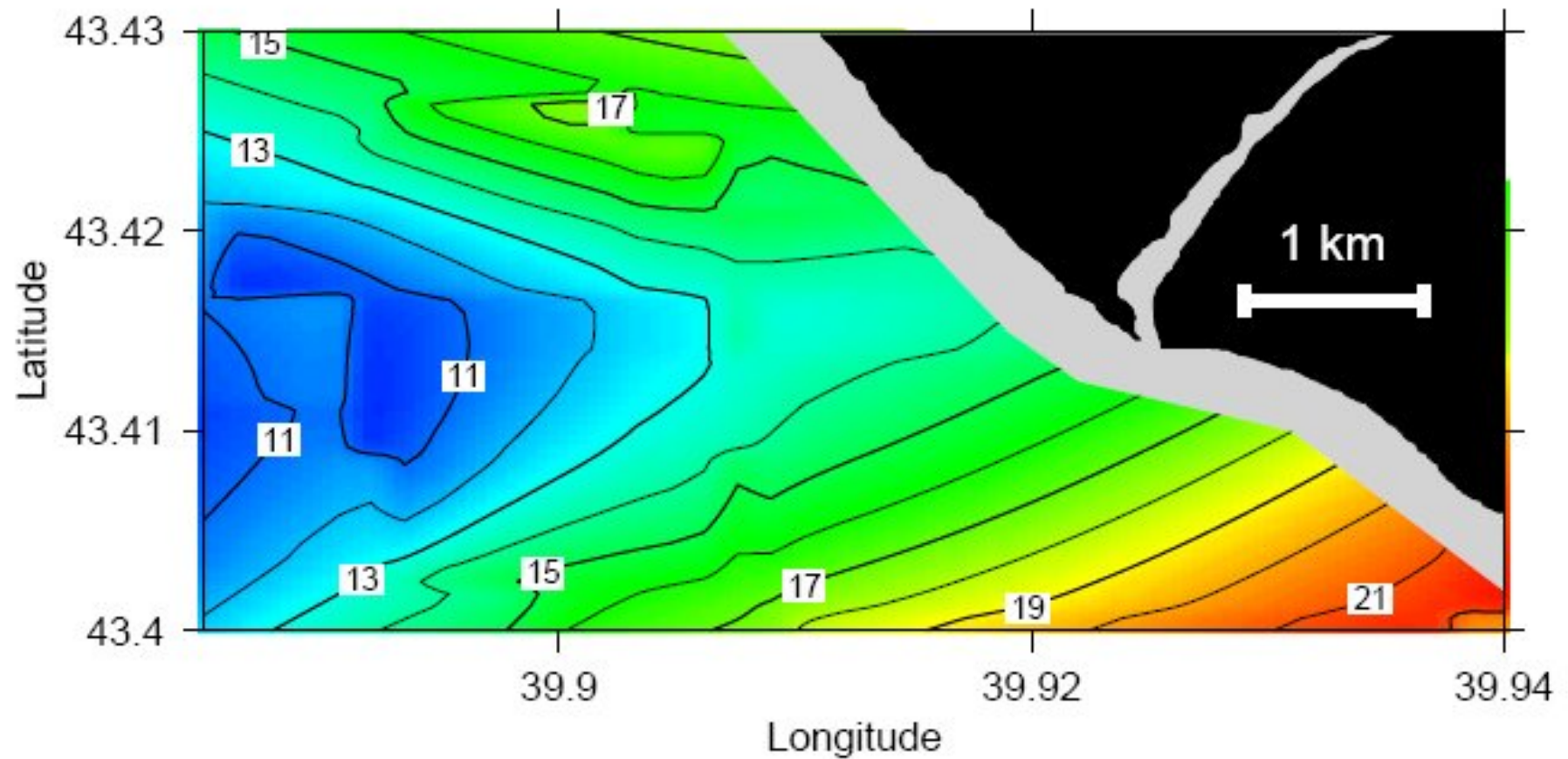
[Nash and Moum, Nature, 2005]



[Nash and Moum, Nature, 2005]

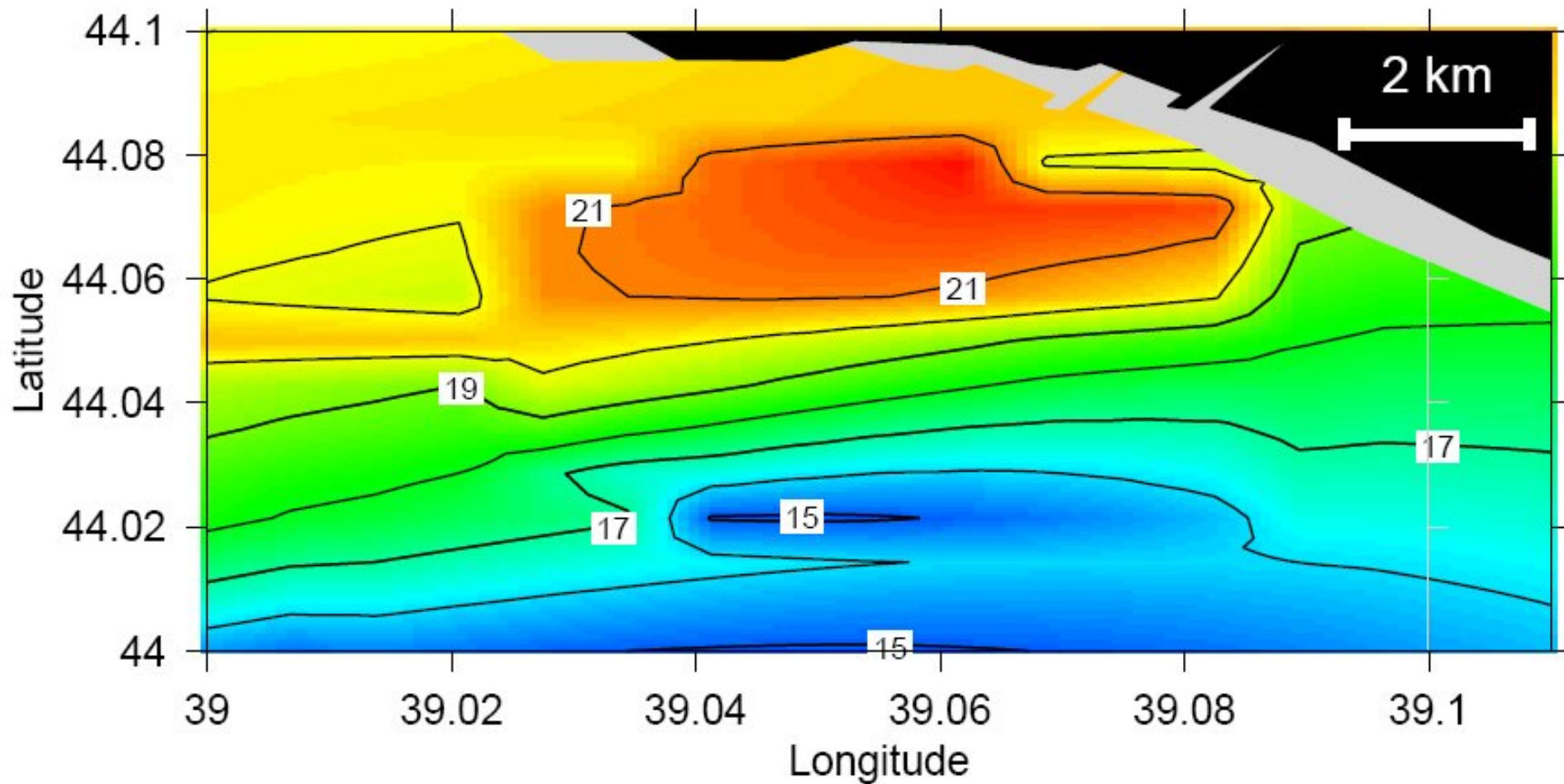
Hint of internal waves activity? Mzymta mouth

Mzymta mouth. Depth of $\sigma_t=13$ isopical surface, m.



Hint of internal waves activity? Tuapse mouth

Tuapse mouth. Depth of $\sigma_t=13$ isopicnal surface, m.



Тезисы (1): *(My apologies to those not reading Russian!)*

- К побережью материка следует относиться, как к *проницаемой* боковой границе океана, потоки тепла и пресной воды через которую могут быть сопоставимы с потоками на границе океан-атмосфера (по крайней мере, для отдельных регионов).
- Речные плюмажи являются повсеместно распространенным в океане и важным явлением. В зависимости от характера стока, батиметрии и ветрового воздействия они могут иметь форму локализованного «пятна», вытянутой вдоль берега протяженной (иногда на тысячи километров!) полосы, струйного течения в направлении от берега, либо отделившейся от устья линзы.
- Сток рек формирует особый тип термохалинной структуры на обширных акваториях и эффективно “модулирует” изменчивость океана в разных масштабах - от суточного до векового.

Тезисы (2):

- Влияние стока не сводится к простому «алгебраическому» обмену свойствами между речной и морской водой. Более важен динамический механизм влияния, связанный с подавлением перемешивания под опресненным поверхностным слоем
- Переменные во времени стоковые плюмажи являются генераторами внутренних волн на шельфе. Этот механизм может быть особенно важным в неприливных акваториях, таких как ЧМ и БМ
- Предположительно, стоковые плюмажи даже небольших рек при ветровом воздействии могут выступать также в качестве своеобразных «триггеров» генерации завихренности на шельфе

Тезисы (3):

- Стоком малых рек российского побережья ЧМ отнюдь не следует пренебрегать. По крайней мере в период весеннего половодья он оказывает отчетливое влияние на термохалинные и гидрохимические поля, а также динамику течений, в пространственных масштабах, сопоставимых с шириной шельфа.
- Стоки рек российского побережья ЧМ западнее Туапсе и восточнее Туапсе резко отличаются друг от друга по гидрохимическим параметрам и свойствам переносимой взвеси

THANK YOU!

